

DEUTSCHES INSTITUT FÜR BAUTECHNIK

Anstalt des öffentlichen Rechts

10829 Berlin, 29. September 2008
Kolonnenstraße 30 L
Telefon: 030 78730-314
Telefax: 030 78730-320
GeschZ.: I 11-1.36.1-2/08

Bescheid

über
die Änderung
der allgemeinen bauaufsichtlichen Zulassung vom 29. Januar 2007

Zulassungsnummer:

Z-36.12-29

Antragsteller:

Sika Deutschland GmbH
Kornwestheimer Straße 103-107
70439 Stuttgart

Zulassungsgegenstand:

Verstärkungen von Betonbauteilen durch schubfest aufgeklebte Kohlefaserlamellen "Sika CarboDur"

Geltungsdauer:

vom 1. Oktober 2008 bis 31. Dezember 2009

Dieser Bescheid ändert die allgemeine bauaufsichtliche Zulassung Nr. Z-36.12-29 vom 29. Januar 2007. Dieser Bescheid umfasst vier Seiten und zwei Anlagen. Er gilt nur in Verbindung mit der oben genannten allgemeinen bauaufsichtlichen Zulassung und darf nur zusammen mit dieser verwendet werden.



ZU II. BESONDERE BESTIMMUNGEN

Die Besonderen Bestimmungen der allgemeinen bauaufsichtlichen Zulassung werden wie folgt geändert:

Der Abschnitt 1 wird wie folgt ersetzt:

1 Zulassungsgegenstand und Anwendungsbereich

1.1 Zulassungsgegenstand

Die allgemeine bauaufsichtliche Zulassung erstreckt sich auf vorgefertigte Verstärkungs-laschen aus kohlestofffaserverstärkten Epoxidharzlaminate (CFK-Laminat), genannt Sika CarboDur S oder Sika CarboDur M Lamellen, und deren Verwendung bei Verstärkungen von Stahlbetonbauteilen mit oder ohne Schublaschen aus Stahl.

1.2 Anwendungsbereich

Die mit dem Klebstoff "Sikadur 30" an die Betonbauteile schubfest angeklebten Sika CarboDur Lamellen dürfen zum Nachweis der Tragfähigkeit von Stahlbetonbauteilen herangezogen werden. Die rechnerische Gesamttragfähigkeit des verstärkten Bauteiles darf nicht größer sein als das Zweifache des unverstärkten Bauteiles.

Bei größeren Schubbeanspruchungen in Betonbalken müssen die Zuglamellen zusätzlich durch Schublaschen aus Stahl umschlossen werden.

Die Lamellen verstärkter Bauteile dürfen ungeschützt nur unter Umweltbedingungen nach DIN 1045¹, Tabelle 10, Zeilen 1 bis 2 mit Ausnahme von Zeile 2, Satz 2 und bei geringer UV-Strahlung (keine direkte Sonneneinstrahlung und nicht bei möglicher indirekter Sonneneinstrahlung durch Schnee- und Wasserflächen) verwendet werden. Ist abweichend davon mit starker UV-Strahlung (direkte Sonneneinstrahlung und mögliche indirekter Sonneneinstrahlung durch Schnee- und Wasserflächen) zu rechnen, muss ein geeigneter Schutzanstrich aufgebracht werden.

Bei der Anwendung unter Umweltbedingungen nach DIN 1045¹, Tabelle 10, Zeile 3 ist durch das Aufbringen geeigneter Schutzschichten sicherzustellen, dass das Bauteil im Bereich der aufgeklebten CFK-Lamellen nicht einer wechselnden oder dauernden Durchfeuchtung sowie nicht einem "schwachen" chemischen Angriff nach DIN 4030-2² ausgesetzt ist.

Im Bereich der CFK-Lamelle darf die Bauteiltemperatur kurzzeitig 43 °C nicht überschreiten. Langfristig darf die Temperatur von 40 °C nicht überschritten werden. Wird auf Betonoberflächen geklebt, die mit Mörtel "Sikadur 41" instand gesetzt wurden, darf die Bauteiltemperatur kurz- und langfristig nur 38 °C betragen. Der Primer ist vor der Verklebung der Schublaschen im Bereich der Klebefuge vollständig zu entfernen.

Durch angeklebte CFK-Lamellen dürfen vorwiegend ruhend beanspruchte Bauteile verstärkt werden.

Der Abschnitt 2.1.3 wird wie folgt ersetzt:

2.1.3 Schublaschen, Ankerschrauben

Sofern zusätzliche Schublaschen erforderlich sind, müssen diese aus Stahl der Sorte S 235J2 nach DIN EN 10025-2³ Stahl bestehen. Ankerschrauben müssen die Festigkeit 4.6, 5.6, 8.8 oder 10.9 besitzen.



Der Abschnitt 3.1.1.3 wird wie folgt ersetzt:

3.1.1.3 Lamellenstoß

Geklebte Lamellen dürfen durch Überlappung gestoßen werden, wenn die Stoßfuge in einem Bereich angeordnet wird, in dem die vorhandene Lamellenzugkraft höchstens 60 % der aufnehmbaren Lamellenzugkraft nach Gleichung (7) der Anlage 2 beträgt. Der Stoß zwischen Lamellen darf als geklebter Übergreifungsstoß ausgebildet werden. Die Übergreifungslänge kann mit Gleichung (8) der Anlage 2 für $f_{ctm} = 3,0 \text{ N/mm}^2$ bestimmt werden.

Der Abschnitt 3.1.1.4 wird wie folgt ersetzt:

3.1.1.4 Zugkraftdeckung und Lamellenverankerung

Für jedes Bauteil sind die versetzte Zugkraft- und die Zugkraftdeckungslinie für den rechnerischen Bruchzustand darzustellen (siehe Bilder 3 und 4 der Anlage 2). Bei der Verankerung der Zuglamellen ist ein Einschneiden der versetzten Zugkraftlinie nicht zulässig.

Das Lamellenende ist mindestens 5 cm an die Auflagerkante zu führen. An Endauflagern ist die erforderliche Verankerungslänge $l_t \leq l_{t,max}$ innerhalb der Strecke s_t anzuordnen und für die erforderliche Verbundbruchkraft $erf T_k$ nach Anlage 2, Abschnitt 2.4, Gleichungen (11) bzw. (12) auszulegen.

An Innenstützen durchlaufender Platten und Balken müssen die Lamellenenden im Biegedruckbereich an der Bauteiloberseite mindestens einen Abstand $e \geq 1,0 \text{ m}$ vom Nulldurchgang der versetzten Zugkraftlinie haben. Dennoch ist immer der Nachweis der Verbundtragfähigkeit über Innenstützen nach Anlage 2, Abschnitt 2.4.1 zu führen.

Auf der Bauteilunterseite müssen die Lamellenenden im Biegedruckbereich mindestens einen maximalen Abstand von der Kante der Innenstütze von 5 cm aufweisen. Ein Nachweis der Klebeverbundverankerung gemäß Abschnitt 2.4 der Anlage 2 ist nur erforderlich, wenn der Abstand des Lamellenendes zum Nulldurchgang der versetzten Zugkraftlinie $< 1,0 \text{ m}$ beträgt (siehe Bild 4 der Anlage 2).

Der Abschnitt 3.1.2 wird wie folgt ersetzt:

3.1.2 Laschenbügelbewehrung aus Stahl

Bei Laschenbügeln, die durch einen geklebten Übergreifungsstoß geschlossen werden, kann die erforderliche Übergreifungslänge mit den Gleichungen (8) und (9) nach Anlage 2 mit $f_{ctm} = 3,0 \text{ N/mm}^2$ bemessen werden. Die gewählte Übergreifungslänge l_0 muss mindestens der Breite b_l der Zuglamelle bzw. bei Anordnung mehrerer Zuglamellen deren gesamten Breite entsprechen.

Bei vorwiegend ruhender Beanspruchung darf die in der Druckzone zu verankernde Zugkraft auf $2/3$ ihres Rechenwertes abgemindert werden. Bei Bauteilen, die von oben nicht zugänglich sind, darf die Verankerung der Laschenbügel in der Druckzone durch zugelassene Klebeanker erfolgen. Werden Laschenbügel in der Druckzone verankert, darf der Achsabstand benachbarter Laschenbügel nicht größer als die Balkenhöhe sein. Werden Laschenbügel durch Klebeverbund verankert, so darf der Achsabstand nicht größer als die halbe Balkenhöhe sein.

Bei Verankerung durch Klebeverbund sind die Laschenbügel konstruktiv mittels Absturzsicherung (z. B. Dübel) für den Brandfall zu sichern.



Der Abschnitt 4.4 wird wie folgt ersetzt:

4.4 Anforderungen an Stahlteile

Für Stahlteile darf Stahl der Sorte S 235J2 nach DIN EN 10025-2³ verwendet werden, für Ankerschrauben die Festigkeitsklassen 4.6, 5.6 oder 10.9.

Ungeprimerte Laschenbügel und andere zu klebende Konstruktionselemente müssen unmittelbar vor Klebstoffauftrag den Reinheitsgrad Sa 3 nach DIN EN ISO 12944-4⁴ aufweisen.

Falls die Vorbereitung der Stahlklebeflächen von Laschenbügeln in der Werkstatt, d. h. nicht unmittelbar vor dem Verkleben auf der Baustelle erfolgt, sind die gestrahlten Oberflächen unverzüglich mit Icosit 277 Stahllaschenprimer zu beschichten.

Schweißarbeiten dürfen nur von Werken vorgenommen werden, die im Besitz eines Nachweises entsprechend DIN 18800-7⁵ (kleiner Eignungsnachweis) sind.

Schweißarbeiten an verklebten Laschenbügeln sind nicht zulässig.

Die Stahllaschenbügel sind nach dem Einbau gemäß Korrosionsschutzklasse III nach DIN EN ISO 12944-4⁴ zu schützen. Für Sonderbelastungen müssen die Korrosionsschutzsysteme auf den Anwendungsfall abgestimmt werden.

Die Anlagen 1 und 2 werden durch die Anlage 1A und 2A ersetzt.

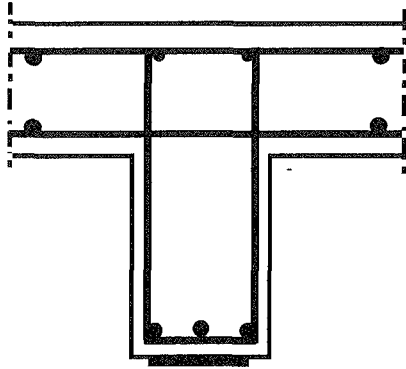
Dipl.-Ing. Jasch



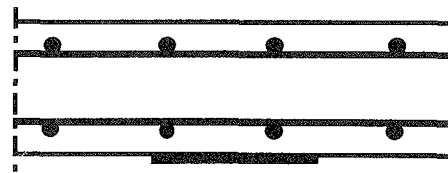
1	DIN 1045:1988-07	Beton- und Stahlbeton, Bemessung und Ausführung
2	DIN 4030-2:2008-06	Beurteilung betonangreifender Wässer, Böden und Gase - Teil 2: Entnahme und Analyse von Wasser- und Bodenproben
3	DIN EN 10025-2:2005-04	Warmgewalzte Erzeugnisse aus Baustählen - Teil 2: Technische Lieferbedingungen für unlegierte Baustähle; Deutsche Fassung EN 10025-2:2004
4	DIN EN ISO 12944-4:1998-07	Beschichtungssysteme - Korrosionsschutz von Stahlbauten durch Beschichtungssysteme - Teil 4: Arten von Oberflächen und Oberflächenvorbereitung (ISO 12944-4:1998); Deutsche Fassung EN ISO 12944-4:1998
5	DIN 18800-7:1983-05	Stahlbauten - Teil 7: Ausführung und Herstellerqualifikation

Verstärkung ohne Schublaschen

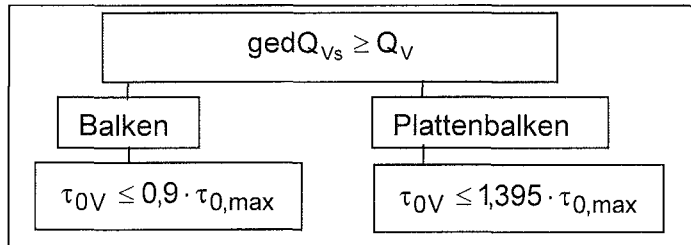
Balken /Plattenbalken



Platte



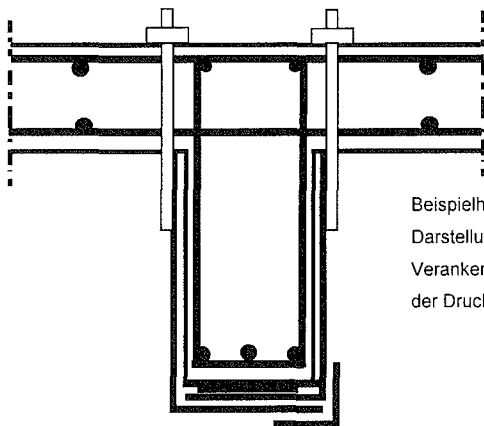
$$\tau_{0V} \leq \begin{cases} \tau_{011}(\text{Zeile 1b}) \\ \tau_{0,max} \text{ nach Anlage 2} \end{cases}$$



$\tau_{0,max}$ nach Anlage 2 nach den Diagrammen 1 bis 5

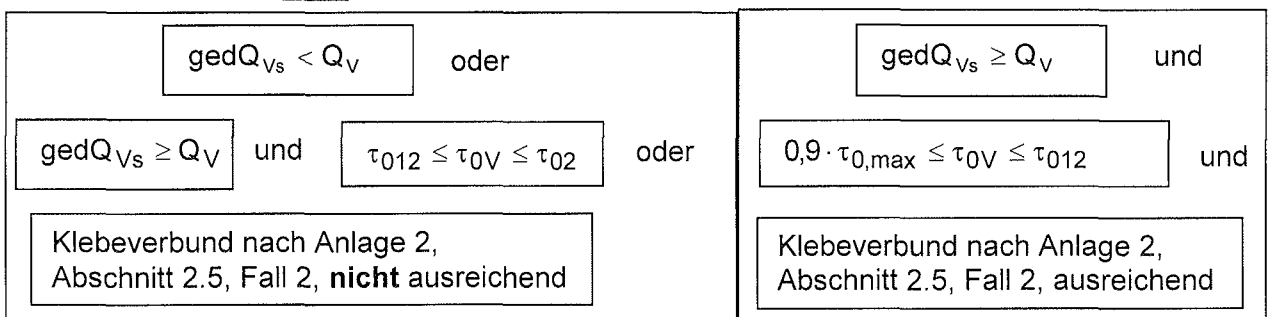
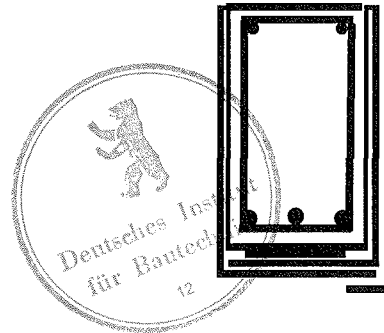
Verstärkung mit Schublaschen aus Stahl S 235J2 nach DIN 10 025-2:2005-04

Fall 1 Balken / Plattenbalken



Beispielhafte Darstellung der Verankerung in der Druckzone

Fall 2 Balken



Sika Deutschland GmbH
70439 STUTTGART

Übersicht
Schubverstärkung
CFK-Laschen

Anlage 1A
zur allgemeinen
bauaufsichtlichen Zulassung
Z-36.12-29
vom 29. September 2008

Grundlagen der Bemessung nach DIN 1045:1988-07¹

Die Gleichungen (3), (6) und (21) bis (24) und die Abschnitte 2.4.2 und 2.6.2 sind in dieser Anlage nicht enthalten.

1 Allgemeines

Alle erforderlichen Nachweise im rechnerischen Gebrauchs- und Bruchzustand sind für das verstärkte Bauteil unter Berücksichtigung des Ist-Zustandes zu erbringen. Soweit nachfolgend nicht anders geregelt, gelten die entsprechenden Abschnitte der DIN 1045¹, auch für den Nachweis der Druckzone.

2 Bemessung

2.1 Grundlagen

Die Spannungsdehnungslinie der vorhandenen Bewehrung darf als bilinear mit $E_s = 210000 \text{ N/mm}^2$, die der CFK-Lamelle als linear angenommen werden. Werkstoffwerte und Grenzdehnung der CFK-Lamelle sind dem Abschnitt 2.1.1 der "Besonderen Bestimmungen" zu entnehmen. Der Rechenwert der vorhandenen Betondruckfestigkeit ist aufgrund von Abschnitt 4.2 der "Besonderen Bestimmungen" festzulegen.

Der Rechenwert f_{ctm} der Oberflächenzugfestigkeit des Betons für die Bemessung der Klebeverbundverankerung ist gemäß Abschnitt 4.2 der "Besonderen Bestimmungen" zu bestimmen. Er darf mit maximal $f_{ctm,surf} = 3,0 \text{ N/mm}^2$ angesetzt werden.

2.2 Verstärkungsgrad

Die erforderliche Biegetragfähigkeit des verstärkten Bauteils darf an keiner Stelle des Bauteils größer als das Zweifache des unverstärkten sein. Dies wird durch den Verstärkungsgrad η_B ausgedrückt.

$$\eta_B = \frac{M_{EV}}{M_{Rd0}} \leq 2 \quad (1)$$

Hierin ist M_{EV} das einwirkende Moment auf das verstärkte Bauteil und M_{Rd0} Bemessungswert der Momententragfähigkeit des unverstärkten Bauteils unter Berücksichtigung des jeweilig vorgeschriebenen Sicherheitsbeiwerts.

2.3 Biegebemessung

Die zur Ermittlung der Bruchschnittgrößen im verstärkten Zustand anzusetzende Lamellengrenzdehnung ε_L ist wie folgt zu bestimmen:

(ε_L ist unter γ -facher Belastung zu ermitteln)

$$\varepsilon_L \leq \text{grenz } \varepsilon_L$$
$$\text{grenz } \varepsilon_L \leq 5 f_{syk} / E_s \quad (2)$$

$$\text{grenz } \varepsilon_L \leq \varepsilon_{Luk} / 2 \quad (4)$$

Für $\eta_B > \gamma$ gilt zusätzlich:

$$\text{grenz } \varepsilon_L = (f_{syk} / E_s) \cdot (\eta_B - 1) / (\eta_B / \gamma - 1) \cdot (1 - \beta) k_z \quad (5)$$

mit:

γ globaler Sicherheitsbeiwert $\gamma = 1,75$

$$\eta_B = \frac{M_{EV}}{M_{Rd0}} \leq 2$$



Biegeverstärkungsgrad



Sika Deutschland GmbH
70439 STUTTGART

Sika CarboDur
Bemessung nach
DIN 1045:1988-07

Anlage 2A, Blatt 1 / 26
zur allgemeinen
bauaufsichtlichen Zulassung
Z-36.12-29
vom 29. September 2008

mit:	
M_{EV}	das einwirkende Moment auf das verstärkte Bauteil
M_{Rd0}	Bemessungswert der Momententragfähigkeit des unverstärkten Bauteils unter Berücksichtigung des jeweilig vorgeschriebenen Sicherheitsbeiwerts
f_{syk}	Nennstreckgrenze des im Bauteil verwendeten Betonstahls
E_s	Rechenwert des E-Moduls des im Bauteil verwendeten Betonstahls nach DIN 1045 ¹ , Bild 12
$k_z = z_L/z_s$	Verhältnis der inneren Hebelarme von Lamelle und Innenbewehrung
$\beta = \epsilon_{s0}/\epsilon_{sy}$	Dehnungsgrad der Bewehrung zum Zeitpunkt der Verstärkung mit
ϵ_{s0}	Vordehnung der Innenbewehrung zum Zeitpunkt der Verstärkung
ϵ_{Luk}	siehe Abschnitt 2.1.1 der "Besonderen Bestimmungen"
ϵ_{sy}	Fließdehnung des Betonstahls

Der kleinste Wert aus den Gleichungen (2) bis (5) ist maßgebend.

Innerhalb der Grenzdehnung darf im rechnerischen Bruchzustand die volle Mitwirkung der vorhandenen Bewehrung und der CFK-Lamellen angenommen werden, sofern die Verbundnachweise erbracht sind. Der Dehnungszustand der vorhandenen Bewehrung von Stahlbetonbauteilen zum Zeitpunkt der Klebung darf hierfür unter Annahme des gerissenen Zustandes ermittelt werden. Der Anschluss von Zuglamellen in Zuggurten gegliederter Querschnitte ist gemäß DIN 1045¹, Abschnitt 18.8.5, nachzuweisen. Es darf mit einem globalen Sicherheitsbeiwert $\gamma = 1,75$ gerechnet werden.

2.4 Bemessung der Klebeverbundverankerung

(Der Nachweis der Verankerung über Innenstützen ist nach Abschnitt 2.4.1 zu führen.)

Bild 1 zeigt qualitativ den Zusammenhang zwischen der charakteristischen Verbundbruchkraft T_k und der Verankerungslänge l_t . Zum Größtwert $T_{k,max}$ gehört die Verankerungslänge $l_{t,max}$.

Beide sind wie folgt zu ermitteln:

$$T_{k,max} = 0,225 \cdot b_L \cdot \sqrt{E_{Lk} \cdot t_L \cdot \sqrt{f_{cm,cube} f_{ctm,surf}}} \quad [N] \quad (7)$$

$$l_{t,max} = 1,46 \sqrt{\frac{E_{Lk} \cdot t_L}{\sqrt{f_{cm,cube} f_{ctm,surf}}}} \quad [mm]$$

mit:

b_L Lamellenbreite in mm

t_L Lamellendicke in mm

E_{Lk} Elastizitätsmodul des CFK-Werkstoffs nach Abschnitt 2.1.1 der "Besonderen Bestimmungen" in N/mm²

$f_{ctm,surf}$ Rechenwert der Oberflächenzugfestigkeit des Betons nach Abschnitt 4.2 der "Besonderen Bestimmungen" in N/mm² unter Berücksichtigung des Abschnitts 2.1 dieser Anlage $f_{ctm,surf} \leq 3,0$ N/mm²

$f_{cm,cube}$ Mittelwert der Betondruckfestigkeit nach Abschnitt 4.2 der "Besonderen Bestimmungen" in N/mm²



Sika Deutschland GmbH
70439 STUTTGART

Sika CarboDur
Bemessung nach
DIN 1045:1988-07

Anlage 2A, Blatt 2 / 26
zur allgemeinen
bauaufsichtlichen Zulassung
Z-36.12-29
vom 29. September 2008

Wie Bild 1 zeigt, lässt sich auch eine geringere Verbundbruchkraft $T_k < T_{k,max}$ auf der zugehörigen Verankerungslänge l_t verankern.

$$l_t = l_{t,max} \left(1 - \sqrt{1 - \frac{T_k}{T_{k,max}}} \right) \quad (9)$$

Die zu einer Verankerungslänge $l_t \leq l_{t,max}$ gehörende Verbundbruchkraft beträgt:

$$T_k = T_{k,max} \frac{l_t}{l_{t,max}} \left(2 - \frac{l_t}{l_{t,max}} \right) \quad (10)$$

Für den Endverankerungsnachweis gilt

– bei unverbügelteten Bauteilen (Platten und Plattenbalken): $T_k \geq \text{erf } T_k = 1,2 F_{LE}$ (11)

– bei verbügelteten Bauteilen (Balken): $T_k \geq \text{erf } T_k = F_{LE}$ (12).

Hierin ist F_{LE} die nach den Bildern 3 und 4 am kraftseitigen Verankerungsbeginn Punkt E zu verankernde Lamellenzugkraft im rechnerischen Bruchzustand.

Auf eine Verbügelung des Endbereichs der Lamellen entsprechend Abschnitt 3.1.3 der "Besonderen Bestimmungen" kann verzichtet werden, wenn $\tau_{0V} < \tau_{011}$ (Zeile 1b) und wenn der Verankerungsnachweis der CFK Lamellen Gleichung (11) bzw. (12) mit einem globalen Sicherheitsbeiwert $\gamma = 2,1$ geführt wird. In jedem anderen Fall ist eine Verbügelung des Endbereichs der Lamelle vorzusehen und es darf mit einem globalen Sicherheitsbeiwert $\gamma = 1,75$ gerechnet werden. Der am Punkt E anzuordnende Laschenbügel B1 (siehe Bild 5) ist auf eine Kraft zu bemessen, die der fiktiven Zugkraft am Ende der Lamelle unter Annahme einer ebenen Dehnungsverteilung und unter Berücksichtigung des Versatzmaßes entspricht. Sowohl der Bügel B1 als auch der konstruktiv am Lamellenende anzuordnende Bügel B2 (siehe Bild 5) kann auf die Bügelbewehrung zur Abtragung der Schubkräfte angerechnet werden. Die Verankerung des Bügels kann durch eine Verankerung in der Druckzone oder durch Klebeverbund entsprechend Abschnitt 2.5, Fall 2 erfolgen.

Konstruktionsregeln enthält Abschnitt 3.1 der "Besonderen Bestimmungen".



Sika Deutschland GmbH
70439 STUTTGART

Sika CarboDur
Bemessung nach
DIN 1045:1988-07

Anlage 2A, Blatt 3 / 26
zur allgemeinen
bauaufsichtlichen Zulassung
Z-36.12-29
vom 29. September 2008

2.4.1 Nachweis der Verbundtragfähigkeit über Innenstützen

Der Nachweis ist im Bruchzustand mit einem globalen Sicherheitsbeiwert $\gamma = 2,1$ zu führen. Anhand des maximalen Rissmomentes $M_{cr, max}$ und des maximalen Rissabstandes $a_{r, max}$ wird das maßgebende Zwischenrisselement im Bereich der Innenstützen ermittelt (siehe Bild 6). Dieses liegt im Abstand des Versatzmaßes v_l vom Zwischenauflager entfernt, an der Stelle der Maximalwerte von Biegemoment und Querkraft. Bei Berücksichtigung des Abschnitts 15.4.1.2 (1) nach DIN 1045¹ ist das Zwischenrisselement im Abstand des Versatzmaßes v_l vom Auflagerrand beginnend nachzuweisen. Für dieses Zwischenrisselement ist der Spannungszuwachs $\text{vorh } \Delta\sigma_L^1$ in der CFK-Lamelle zu ermitteln.

Die Spannungen σ_L^1 sowie der Spannungszuwachs $\text{vorh } \Delta\sigma_L^1$ müssen entsprechend den Dehnungszuständen ermittelt werden, die sich unter Annahme einer ebenen Dehnungsverteilung und den Arbeitslinien gem. von DIN 1045¹, Bild 11 und Bild 12 für Beton und Betonstahl einstellen (wobei eine vereinfachte Ermittlung bei Biegung ohne Längskraft nach Teilschema 3 vorgenommen werden darf.).

Der Nachweis der Zugkraftdeckung ist erbracht, wenn der vorhandene Spannungszuwachs $\text{vorh } \Delta\sigma_L^1$ kleiner als der aufnehmbare Spannungszuwachs $\text{aufn. } \Delta\sigma_L^1$ ist.

2.4.1.1 Bestimmung des Rissbildes

Das Versatzmaß v_l darf vereinfachend wie folgt ermittelt werden:

$$v_l \approx 0,85 \cdot \frac{h_L \cdot E_L \cdot A_L + h_S \cdot E_S \cdot A_S}{E_L \cdot A_L + E_S \cdot A_S} \quad (I.1)$$

mit:

- h_S statische Nutzhöhe des Betonstahls
- h_L statische Nutzhöhe der Klebebewehrung
- E_L Elastizitätsmodul der CFK-Lamelle, E_L nach Abschnitt 2.1.1 der "Besonderen Bestimmungen"
- E_S Elastizitätsmodul für Betonstahl
- A_L Querschnittsfläche der Klebebewehrung
- A_S Querschnittsfläche des Betonstahls



Sika Deutschland GmbH
70439 STUTTGART

Sika CarboDur
Bemessung nach
DIN 1045:1988-07

Anlage 2A, Blatt 4 / 26
zur allgemeinen
bauaufsichtlichen Zulassung
Z-36.12-29
vom 29. September 2008

Ermittlung des maximalen Rissabstandes $a_{r,max}$:

Für die Ermittlung des maximalen Rissmomentes $M_{cr,max}$ darf die maximale Biegezugfestigkeit des zu verstärkenden Bauwerks wie folgt angenommen werden:

$$f_{ct,fl,max} = 1,3 \cdot f_{ctm,surf} \quad (1.2)$$

mit:

$f_{ctm,surf}$ Rechenwert der Oberflächenzugfestigkeit des Betons nach Abschnitt 4.2 der "Besonderen Bestimmungen" in N/mm^2

$$M_{cr,max} = f_{ct,fl,max} \cdot W_{c,o} \quad (1.3)$$

mit:

$f_{ct,fl,max}$ maximale Biegezugfestigkeit des zu verstärkenden Bauwerks
 $W_{c,o}$ Widerstandsmoment des ungerissenen Betonquerschnitts

Ermittlung des maximalen Rissabstandes $a_{r,max}$:

$$a_{r,max} = \left(1,5 + 0,5 \cdot \frac{A_{E,Gleichstreckenlast}}{A_E} \right) \cdot l_{e,0,max} \quad (1.4)$$

mit:

A_E Auflagerkraft aus der Gesamtlast
 $A_{E,Gleichstreckenlast}$ Auflagerkraft aus der Gleichstreckenlast
 $l_{e,0,max}$ maximale Eintragungslänge von Betonstahl

$$l_{e,0,max} = \frac{M_{cr,max}}{z_s \cdot T} \quad (1.5)$$

mit:

$M_{cr,max}$ maximales Rissmomentes $M_{cr,max}$ nach Gleichung (1.3)
 z_s mittlerer Hebelarm der inneren Kräfte, dieser darf vereinfachend wie folgt angenommen werden:

$$z_s \approx 0,85 \cdot h_s \quad (1.6)$$

mit:

h_s statische Nutzhöhe des Betonstahls

T Verbundkraft je Länge

$$T = \sum_{i=1}^n n_{s_i} \cdot d_{s_i} \cdot \pi \cdot f_{bS,m,max}$$

mit:

n_{s_i} Anzahl der Bewehrungsstäbe der Biegezugbewehrung eines Durchmessers

d_{s_i} Durchmesser der Bewehrungsstäbe der Biegezugbewehrung

$f_{bS,m,max}$ maximale Verbundspannung zwischen Betonstahl und Beton nach \rightarrow **Teilschema A.1 ($f_{bS,m} = f_{bS,m,max}$)** mit $\sigma_{S,r}(M_{cr,max})$ für

$\sigma_{S,r}$

mit:

$\sigma_{S,r}(M_{cr,max})$ Betonstahlspannung unter Wirkung des Rissmomentes für den unverstärkten Querschnitt nach

\rightarrow **Teilschema 1** mit $M_{cr,max}$ für M_i

Gemäß Bild 6 sind die Risslagen x_1 und x_2 für die Risse 1 und 2 festzulegen.



Sika Deutschland GmbH
70439 STUTTGART

Sika CarboDur
Bemessung nach

DIN 1045:1988-07

Anlage 2A, Blatt 5 / 26

zur allgemeinen
bauaufsichtlichen Zulassung

Z-36.12-29

vom 29. September 2008

2.4.1.2 Bestimmung der Verbundbeanspruchung

Ermittlung des vorhandenen Spannungszuwachs vorh $\Delta\sigma_L^1$ zwischen den Rissen x_1 und x_2

$$\text{vorh } \Delta\sigma_L^1 = \sigma_L^2 - \sigma_L^1 \quad (I.8)$$

mit:

σ_L^1, σ_L^2 Lamellenspannung an den Rissen x_1 und x_2

$$\rightarrow \text{Teilschema 3 mit } z_m \approx 0,85 \cdot \frac{h_L \cdot E_L \cdot A_L + h_S \cdot E_S \cdot A_S}{E_L \cdot A_L + E_S \cdot A_S}$$

2.4.1.3 Bestimmung des Verbundwiderstands

$$\text{aufn. } \Delta\sigma_L^1(\sigma_L^1) = \Delta\sigma_L^1(\sigma_L^1) \quad (I.9)$$

mit:

$\Delta\sigma_L^1(\sigma_L^1)$ Spannungsdifferenz zwischen den Rissen x_1 und x_2

$$\Delta\sigma_L^1(\sigma_L^1) = \sqrt{\frac{2 \cdot G_f \cdot E_L}{t_L} + (\sigma_L^1)^2} - \sigma_L^1 \leq \frac{f_{kL}}{1,2} - \sigma_L^1 \quad (I.10)$$

mit:

E_L Elastizitätsmodul der CFK-Lamellen

t_L Lamellendicke

G_f Verbundbruchenergie

$$G_f = \frac{1}{2} s_{L0,k} \cdot f_{blk} \quad (I.11)$$

mit:

f_{blk} charakteristische Verbundspannung zwischen Beton und Klebebewehrung

$$f_{blk} = 0,273 \sqrt{f_{cm,cube}} \cdot f_{ctm,surf} \quad (I.12)$$

mit:

$f_{ctm,surf}$ Rechenwert der Oberflächenzugfestigkeit des Betons nach Abschnitt 4.2 der "Besonderen Bestimmungen" in N/mm^2

unter Berücksichtigung des Abschnitts 2.1 dieser Anlage

$$f_{ctm,surf} \leq 3,0 N/mm^2$$

$f_{cm,cube}$ Mittelwert der Betondruckfestigkeit nach Abschnitt 4.2 der "Besonderen Bestimmungen" in N/mm^2

$s_{L0,k}$ charakteristischer Grenzwert der Relativverschiebung

$$s_{L0,k} = 0,185 \text{ mm}$$

σ_L^1 Lamellenspannung am Riss x_1 nach Abschnitt 2.4.1.2

f_{kL} charakteristischer Wert der Zugfestigkeit der CFK-Lamellen

2.4.1.4 Nachweis

Der Nachweis der Zugkraftdeckung ist erbracht, wenn:

$$\text{vorh. } \Delta\sigma_L^1 \leq \text{aufn. } \Delta\sigma_L^1 \quad (I.13)$$



Sika Deutschland GmbH
70439 STUTTGART

Sika CarboDur
Bemessung nach
DIN 1045:1988-07

Anlage 2A, Blatt 6 / 26
zur allgemeinen
bauaufsichtlichen Zulassung
Z-36.12-29
vom 29. September 2008

2.5 Querkraftnachweis und -bemessung (für Innenstütz- und Feldbereiche)

Es gelten die Regelungen von DIN 1045¹ mit den folgenden zusätzlichen Festlegungen. Der Schubbereich 3 darf nicht angewandt werden.

Der Grundwert τ_{0V} der Schubspannung des verstärkten Bauteils im Gebrauchszustand kann für Vollplatten nach Gleichung (13) in Höhe der Nulllinie, siehe Bild 2 bestimmt werden:

$$\tau_{0V} = \frac{Q_V}{\text{erf}\eta_B \cdot z_m} \left[1 + (\text{erf}\eta_B - 1) \frac{s_L}{b_L + 2(d - x)} \right] \leq \begin{cases} \tau_{011}(b) \\ \tau_{0,\max} \text{ nach Diagrammen 1 bis 5} \end{cases} \quad (13)$$

Hierin bedeuten:

Q_V gesamte Querkraft pro Meter Plattenbreite. An Endauflagern darf die am Punkt E (siehe Bild 3) vorhandene Querkraft eingesetzt werden, an Zwischenauflagern gemäß DIN 1045¹, Abschnitt 17.5.2.

$\text{erf}\eta_B$ erforderlicher Biegeverstärkungsgrad

s_L Lamellenabstand

z_m mittlerer Hebelarm der inneren Kräfte, für Vollplatten kann dieser Hebelarm überschläglich wie folgt ermittelt werden: $z_m \approx 0,85 d$, mit d = Plattenhöhe

b_L Lamellenbreite

d Plattenhöhe (siehe Bild 2)

x Höhe der Druckzone des verstärkten Querschnitts (siehe Bild 2)

$\tau_{011}(b)$ τ_{011} nach DIN 1045¹, Tabelle 13, Zeile 1b

$\tau_{0,\max}$ nach Diagrammen 1 bis 5

mit

β_W Betondruckfestigkeitsklasse – entspricht der Nennfestigkeit des β_{WN} nach DIN 1045¹

μ_L Längsbewehrungsgrad

mit

$$\mu_L = \frac{A_s}{b \cdot h_s}$$

mit:

A_s Fläche der Zugbewehrung, die Klebeverstärkung darf dabei nicht berücksichtigt werden

b kleinste Querschnittsbreite

h_s statische Nutzhöhe der Biegebewehrung im Querschnitt

a_r Rissabstand [m] Ermittlung nach \rightarrow **Teilschema A**, bei Berücksichtigung einer Vordehnung bzw. Lamellendehnung $\epsilon_L \neq 8,5 \text{ ‰}$ darf für a_r auch der modifizierte Rissabstand $a_{r,\text{mod}}$ eingesetzt werden:

$$a_{r,\text{mod}}: \quad a_{r,\text{mod}} = a_r \cdot \frac{\epsilon_L}{0,0085} + \frac{W_{t=0}}{0,0085}$$

mit:



Sika Deutschland GmbH
70439 STUTTGART

Sika CarboDur
Bemessung nach
DIN 1045:1988-07

Anlage 2A, Blatt 7 / 26
zur allgemeinen
bauaufsichtlichen Zulassung
Z-36.12-29
vom 29. September 2008

$w_{t=0}$ vorhandene Rissbreite zum Zeitpunkt der Verklebung [m]

ϵ_L Rechenwert der Lamellendehnung im verstärkten Zustand

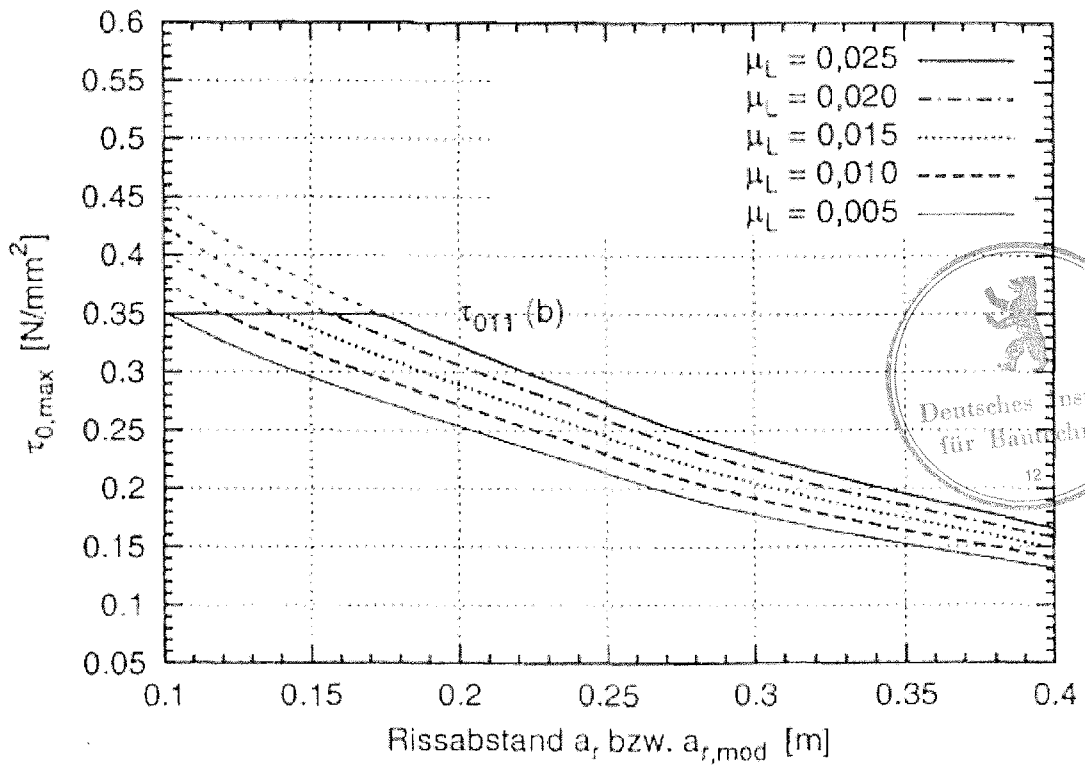


Diagramm 1: Grenzwert $\tau_{0,max}$ für $\epsilon_L = 8,5\text{‰}$, $\beta_{1W} = 15 \frac{N}{mm^2}$



Sika Deutschland GmbH
70439 STUTTGART

Sika CarboDur
Bemessung nach
DIN 1045:1988-07

Anlage 2A, Blatt 8 / 26
zur allgemeinen
bauaufsichtlichen Zulassung
Z-36.12-29
vom 29. September 2008

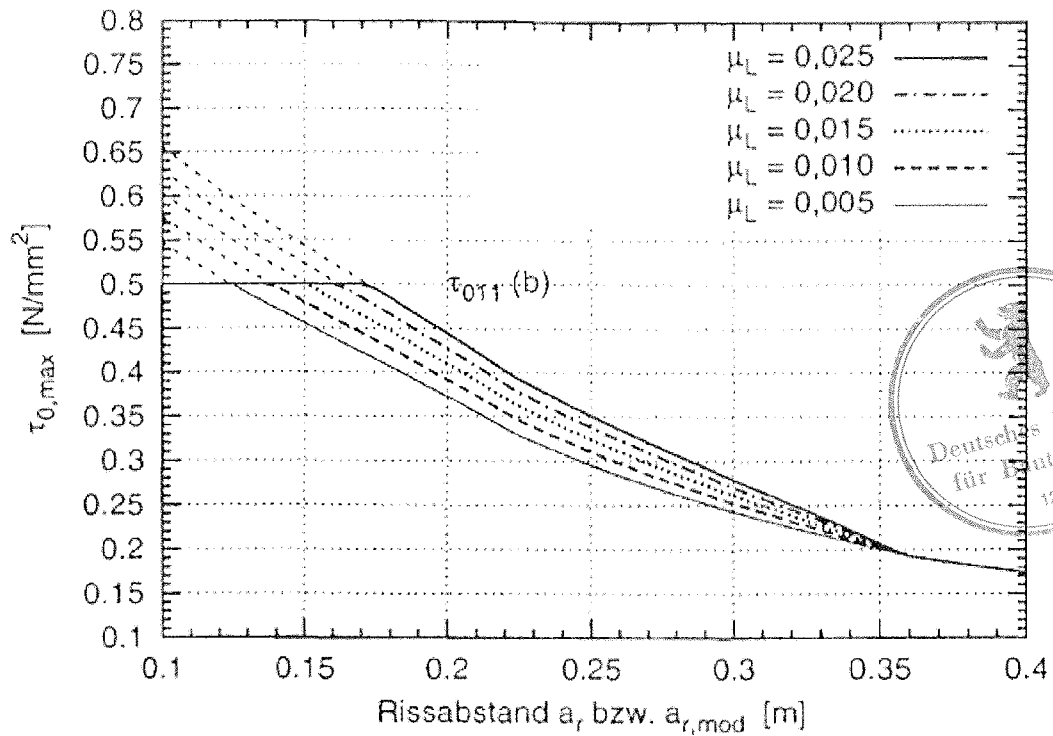


Diagramm 2: Grenzwert $\tau_{0,max}$ für $\epsilon_L = 8,5\%$, $\beta_W = 25 \frac{N}{mm^2}$

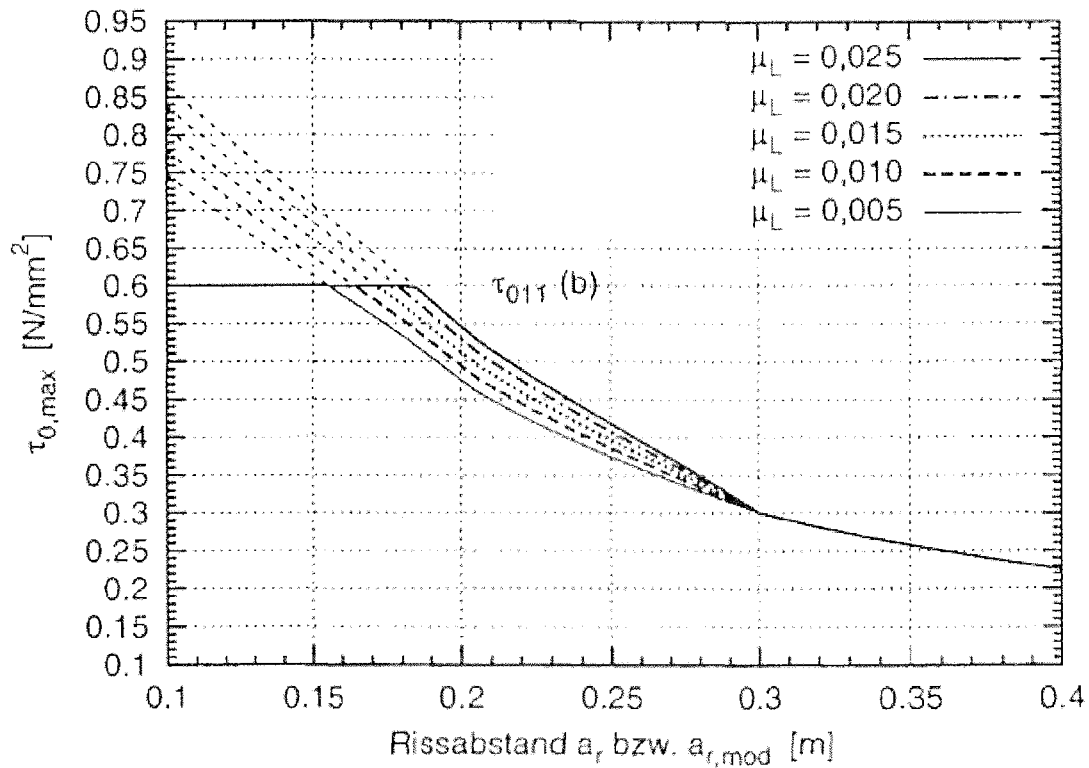


Diagramm 3: Grenzwert $\tau_{0,max}$ für $\epsilon_L = 8,5\%$, $\beta_W = 35 \frac{N}{mm^2}$



Sika Deutschland GmbH
70439 STUTTGART

Sika CarboDur
Bemessung nach
DIN 1045:1988-07

Anlage 2A, Blatt 9 / 26
zur allgemeinen
bauaufsichtlichen Zulassung
Z-36.12-29
vom 29. September 2008

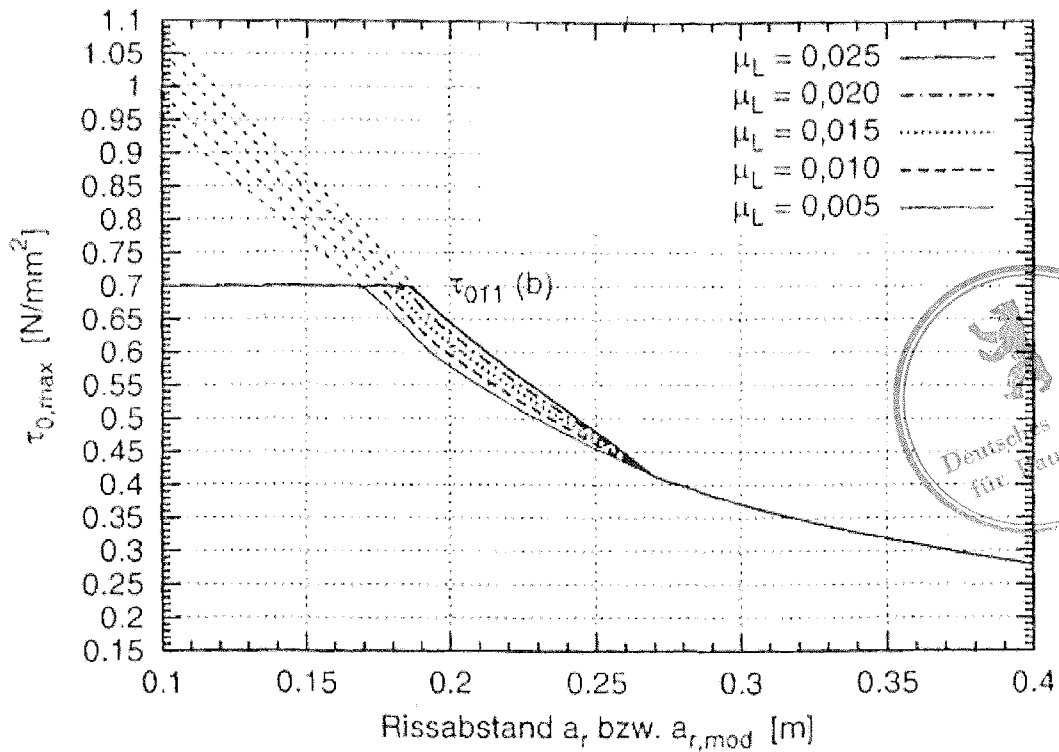


Diagramm 4: Grenzwert $\tau_{0,max}$ für $\epsilon_L = 8,5\%$, $\beta_W = 45 \frac{N}{mm^2}$

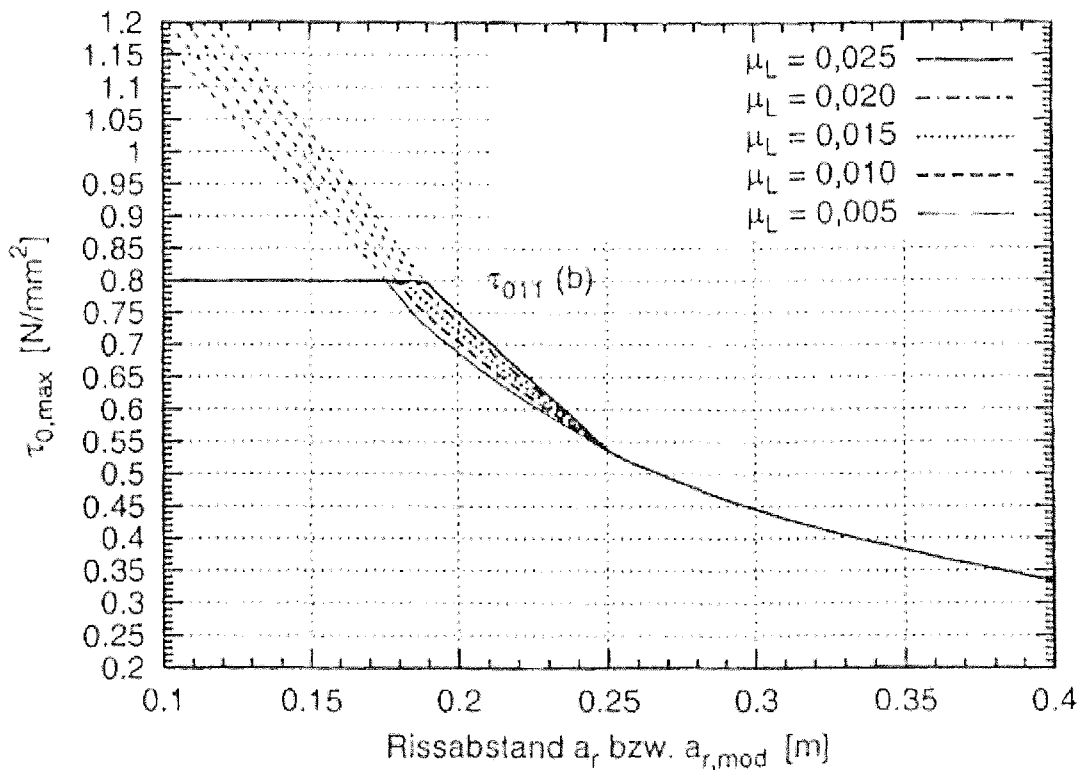


Diagramm 5: Grenzwert $\tau_{0,max}$ für $\epsilon_L = 8,5\%$, $\beta_W = 55 \frac{N}{mm^2}$



Sika Deutschland GmbH
70439 STUTTGART

Sika CarboDur
Bemessung nach

DIN 1045:1988-07

Anlage 2A, Blatt 10 / 26
zur allgemeinen
bauaufsichtlichen Zulassung
Z-36.12-29

vom 29. September 2008

Bei Balken und Plattenbalken wird der Grundwert τ_{0V} wie folgt bestimmt (siehe Bild 2):

$$\tau_{0V} = \frac{Q_V}{b \cdot z_m} \leq \tau_{02} \quad (14)$$

Hierin ist b die Balkenstegbreite und z_m der mittlere Hebelarm der inneren Kräfte von Innenbewehrung und Lamelle.

Der Bemessungswert τ ist wie folgt zu ermitteln:

$$\tau = (1 - v) \cdot \tau_{0V} \quad (14.1)$$

mit:

v ist nach den nachfolgenden Diagrammen 6 bis 10 zu ermitteln

mit:

τ_0 entspricht τ_{0V} nach Gleichung (14)

a_r Rissabstand [m] Ermittlung nach \rightarrow **Teilschema A**, bei Berücksichtigung einer Vordehnung bzw. Lamellendehnung $\epsilon_L \neq 8,5 \text{ ‰}$ darf für a_r auch der modifizierte Rissabstand $a_{r,mod}$ eingesetzt werden:

$$a_{r,mod}: \quad a_{r,mod} = a_r \cdot \frac{\epsilon_L}{0,0085} + \frac{w_{t=0}}{0,0085} \leq a_r$$

mit:

$w_{t=0}$ vorhandene Rissbreite zum Zeitpunkt der Verklebung [m]

ϵ_L Rechenwert der Lamellendehnung im verstärkten Zustand

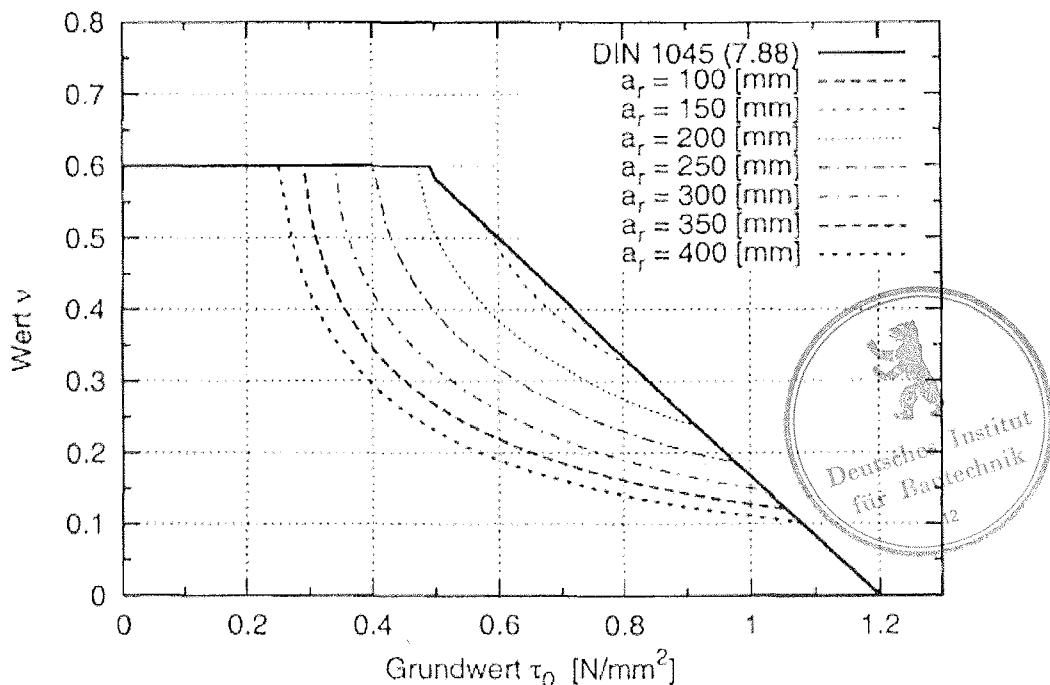


Diagramm 6: Beiwert v für $\epsilon_L = 8,5 \text{ ‰}$, $\beta_W = 15 \frac{N}{mm^2}$



Sika Deutschland GmbH
70439 STUTTGART

Sika CarboDur
Bemessung nach

DIN 1045:1988-07

Anlage 2A, Blatt 11 / 26
zur allgemeinen
bauaufsichtlichen Zulassung
Z-36.12-29

vom 29. September 2008

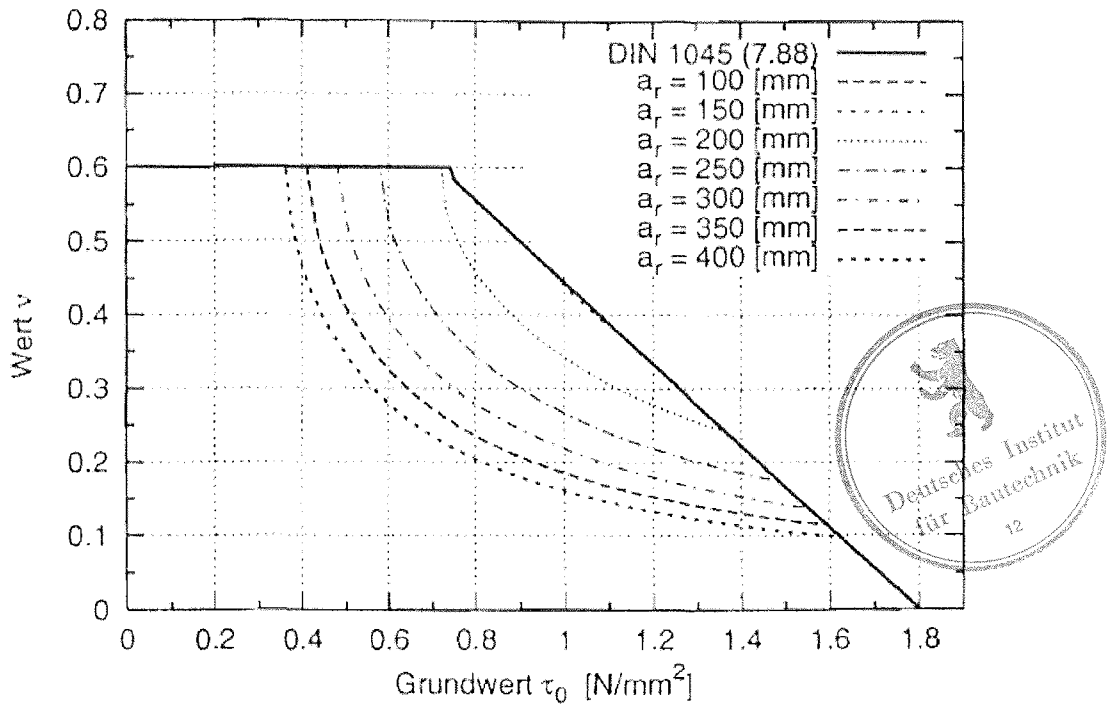


Diagramm 7: Beiwert ν für $\epsilon_L = 8,5\%$, $\beta_W = 25 \frac{N}{mm^2}$

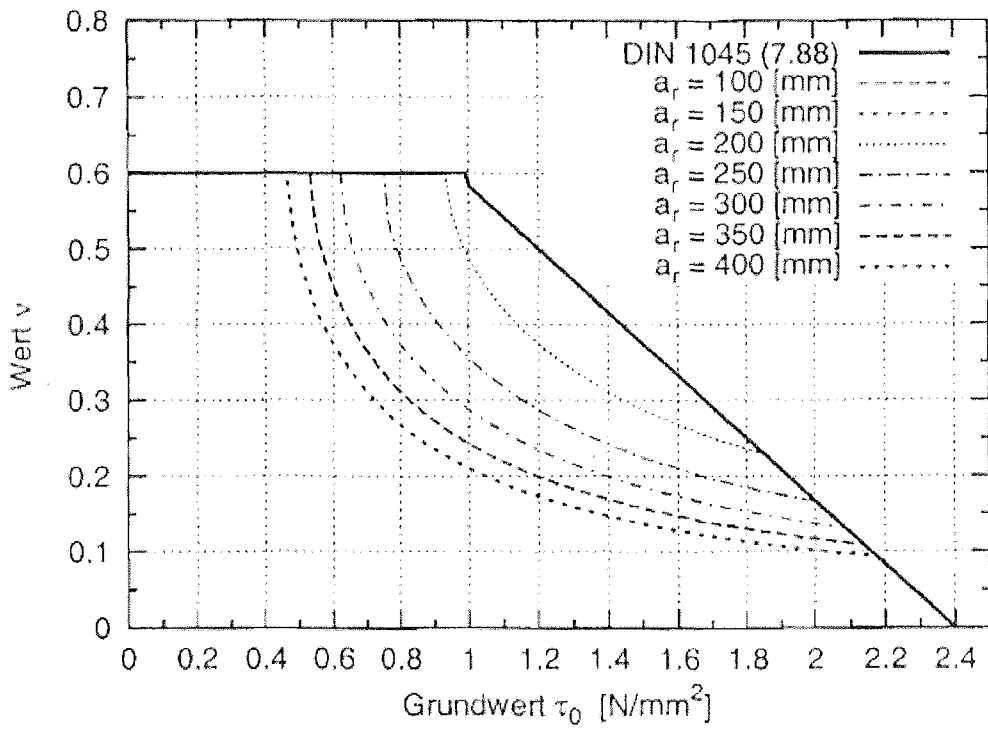


Diagramm 8: Beiwert ν für $\epsilon_L = 8,5\%$, $\beta_W = 35 \frac{N}{mm^2}$



Sika Deutschland GmbH
70439 STUTTGART

Sika CarboDur
Bemessung nach

DIN 1045:1988-07

Anlage 2A, Blatt 12 / 26
zur allgemeinen
bauaufsichtlichen Zulassung
Z-36.12-29

vom 29. September 2008

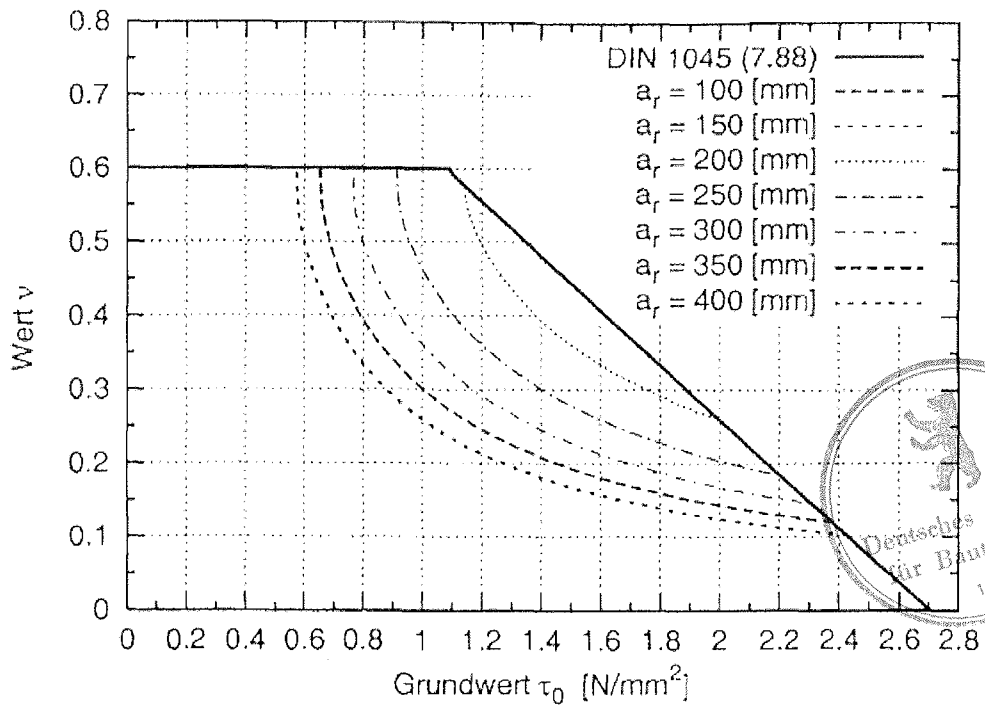


Diagramm 9: Beiwert ν für $\epsilon_L = 8,5\%$, $\beta_W = 45 \frac{N}{mm^2}$

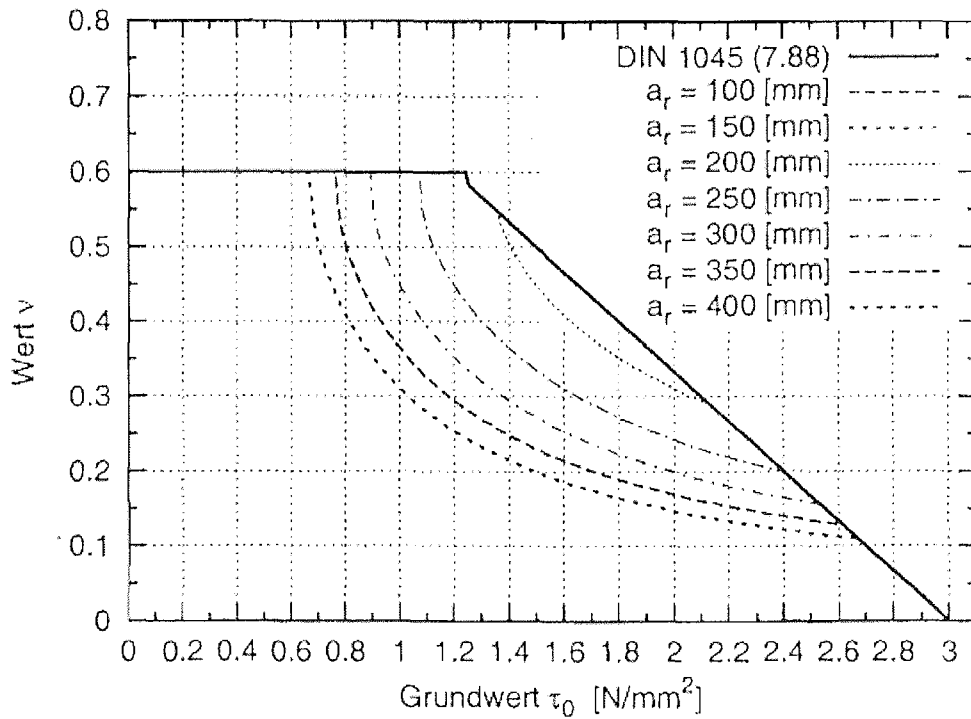


Diagramm 10: Beiwert ν für $\epsilon_L = 8,5\%$, $\beta_W = 55 \frac{N}{mm^2}$



Sika Deutschland GmbH
70439 STUTTGART

Sika CarboDur
Bemessung nach

DIN 1045:1988-07

Anlage 2A, Blatt 13 / 26
zur allgemeinen
bauaufsichtlichen Zulassung
Z-36.12-29

vom 29. September 2008

Bei der Ermittlung des von der inneren Schubbewehrung abgedeckten Querkraftanteils $ged Q_{Vs}$ ist die innere Schubbewehrung mit der Stahlspannung $\sigma_s = \beta_{sk}/1,75$ in Rechnung zu stellen. Die Laschenbügel sind mit der Stahlspannung $\sigma_{b\ddot{u}} = \beta_{lk}/1,75$ zu bemessen.

Die Mindestmenge der Laschenbügel ist für den Schubereich 1 gemäß DIN 1045¹, Abschnitte 17.5.5.2 und für den Schubereich 2 gemäß DIN 1045¹, Abschnitte 17.5.5.3, wobei der Bemessungswert für den Schubereich 2 nach dieser Anlage zu ermitteln ist.

Bei Balken kann bei einer Schubbeanspruchung $\tau_{0V} \leq 0,9 \cdot \tau_{0max}$ (mit τ_{0max} nach den Diagrammen 1 bis 5) und bei Plattenbalken bei einer Schubbeanspruchung $\tau_{0V} \leq 0,9 \cdot (1,55 \cdot \tau_{0max})$ auf Laschenbügel verzichtet werden, sofern die innere Schubbewehrung zur Deckung der Gesamtquerkraft Q_V ausreichend dimensioniert ist (Fall 2).

Übersteigt die Schubbeanspruchung den Wert $0,9 \cdot \tau_{0max}$, ist die durch Laschenbügel abzudeckende Querkraft Q_{VL} nach Gleichung (15) bzw. (16) zu berechnen. Ein Fließen der inneren Betonstahlbewehrung muss bei der Ermittlung von Q_{VL} berücksichtigt werden. Der durch Laschenbügel abzudeckende Schubspannungsanteil τ_{0VL} ist auf $0,7 \cdot \tau_{0max}$ zu begrenzen.

$$Q_{VL} = \frac{\eta_B - 1}{\eta_B} \cdot Q_V \quad (15)$$

$$Q_{VL} = Q_V - ged Q_{Vs} \quad (16)$$

Der größere Wert von Q_{VL} ist maßgebend.

In der Gleichung (15) bedeutet:

η_B Biegeverstärkungsgrad (siehe Gleichung (1))



Hinsichtlich der Deckung der Querkraft des Bauteils im verstärkten Zustand sind zwei Fälle zu unterscheiden:

Fall 1:

Die durch die innere Schubbewehrung gedeckte Querkraft $ged Q_{Vs}$ ist kleiner als die gesamte Querkraft ($ged Q_{Vs} < Q_V$):

Äußere Schubbewehrung in Form geklebter Stahlbügel ist stets anzuordnen. Diese müssen die Zugzone umschließen und in der Druckzone verankert werden.

Fall 2:

Die durch die innere Schubbewehrung gedeckte Querkraft ist gleich oder größer als die gesamte Querkraft ($ged Q_{Vs} > Q_V$):

Bei einer Schubbeanspruchung $\tau_{0V} \leq \tau_{012}$ kann auf die Verankerung der Laschenbügel in der Druckzone verzichtet werden, sofern die auf die Bügelschenkel entfallende Zugkraft über Klebeverbund an das Betonbauteil übertragen werden kann. Der Nachweis kann nach Gleichung (17) erfolgen.

$$2,1 F_{b\ddot{u}} \leq T_k \quad (17)$$

Die charakteristische Verbundbruchkraft T_k ist nach den Gleichungen (18) bis (20) zu berechnen. Die Laschenbügel sind über die gesamte Steghöhe zu verkleben. In Gleichung (18) darf nur die Hälfte der vorhandenen Klebelänge angesetzt werden.



Sika Deutschland GmbH
70439 STUTTGART

Sika CarboDur
Bemessung nach
DIN 1045:1988-07

Anlage 2A, Blatt 14 / 26
zur allgemeinen
bauaufsichtlichen Zulassung
Z-36.12-29
vom 29. September 2008

$$T_k = T_{k,max} \cdot \frac{l_t}{l_{t,max}} \cdot \left(2 - \frac{l_t}{l_{t,max}} \right) \quad [\text{N}] \quad (18)$$

$$T_{k,max} = 0,225 \cdot b_b \cdot \sqrt{E_{bk} \cdot t_b} \cdot \sqrt{f_{cm,cube} \cdot f_{ctm,surf}} \quad [\text{N}] \quad (19)$$

$$l_{t,max} = 1,46 \cdot \sqrt{\frac{E_{bk} \cdot t_b}{f_{cm,cube} \cdot f_{ctm,surf}}} \quad [\text{mm}] \quad (20)$$

mit:

$F_{b\ddot{u}}$ die auf einen B\u00fcgelschenkel entfallene Zugkraft

$T_{k,max}$ charakteristische Verbundbruchkraft

$l_{t,max}$ zu $T_{k,max}$ zugehörige Verankerungsl\u00e4nge

l_t h\u00f6chstens die H\u00e4lfte der vorhandenen Klebel\u00e4nge

b_b Breite der Schublaschen in mm

t_b Dicke der Schublaschen in mm

E_{bk} Elastizit\u00e4tsmodul des B\u00fcgels in N/mm²

$f_{ctm,surf}$ Rechenwert der Oberfl\u00e4chenzugfestigkeit des Betons nach Abschnitt 4.2 der "Besonderen Bestimmungen" in N/mm² unter Ber\u00fccksichtigung des Abschnitts 2.1 dieser Anlage $f_{ctm,surf} \leq 3,0 \text{ N/mm}^2$

$f_{cm,cube}$ Mittelwert der Betondruckfestigkeit nach Abschnitt 4.2 der "Besonderen Bestimmungen" in N/mm²

Hinsichtlich Anordnung und zul\u00e4ssiger Abst\u00e4nde der B\u00fcgel vgl. Abschnitt 3.1.2 der "Besonderen Bestimmungen". Geklebte und nicht in der Druckzone verankerte Laschenb\u00fcgel k\u00f6nnen durch schubfest aufgeklebte Kohlefaserlamine entsprechend einer daf\u00fcr erteilten und g\u00fcltigen allgemeinen bauaufsichtlichen Zulassung erfolgen.

2.6 Nachweise im Gebrauchszustand

2.6.1 Rissbreitenbeschr\u00e4nkung

Auf den Nachweis der Beschr\u00e4nkung der Rissbreite darf verzichtet werden.

2.6.3 Nachweis der Dauerhaftigkeit

Zus\u00e4tzlich zum Verankerungsnachweis nach Gleichung (11) bzw. (12) muss nachgewiesen werden, dass die auftretenden Verankerungskr\u00e4fte aus st\u00e4ndigen Lasten folgende Bedingungen erf\u00fcllen:

- bei unverb\u00fcgelten Bauteilen (Platten und Plattenbalken): $0,6 \cdot T_k \geq \text{erf } T_k = 1,2 F_{LE} \quad (25)$
- bei verb\u00fcgelten Bauteilen (Balken): $0,6 \cdot T_k \geq \text{erf } T_k = F_{LE} \quad (26)$



Sika Deutschland GmbH
70439 STUTTGART

Sika CarboDur
Bemessung nach
DIN 1045:1988-07

Anlage 2A, Blatt 15 / 26
zur allgemeinen
bauaufsichtlichen Zulassung
Z-36.12-29
vom 29. September 2008

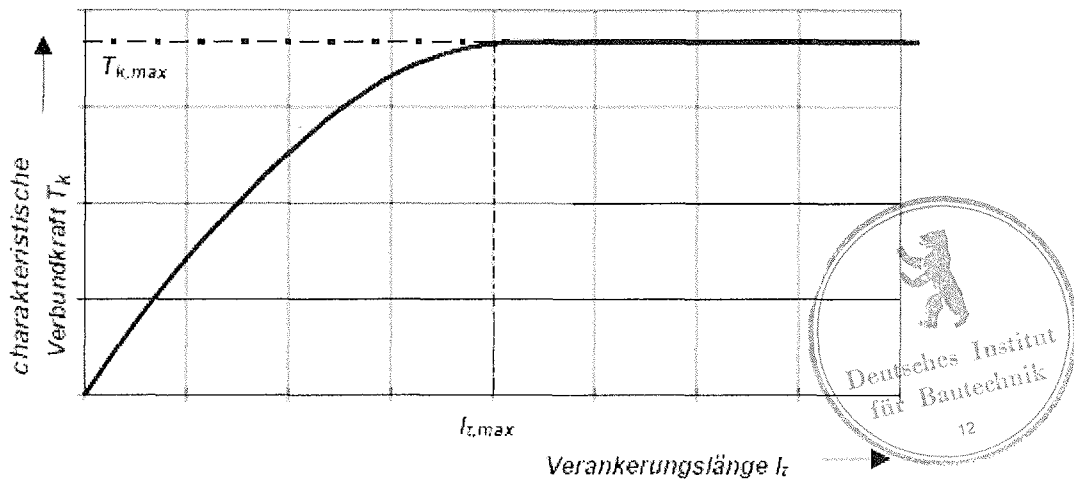


Bild 1: Zusammenhang zwischen der charakteristischen Verbundbruchkraft und der Verankerungslänge (Qualitativ)

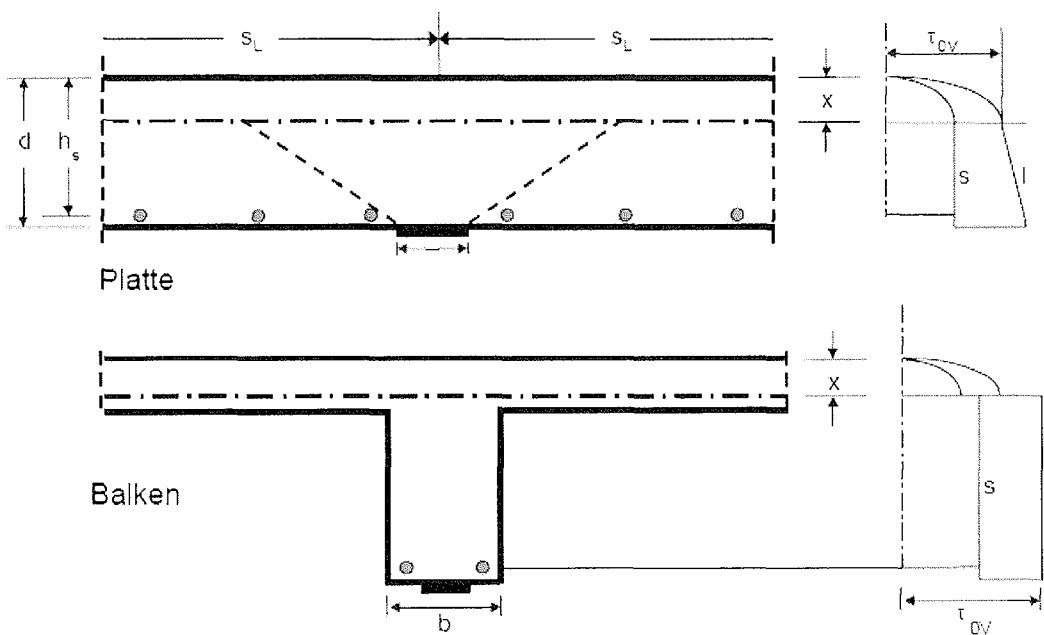


Bild 2: Schubspannungen des verstärkten Bauteils im Gebrauchszustand



Sika Deutschland GmbH
70439 STUTTGART

Sika CarboDur
Bemessung nach
DIN 1045:1988-07

Anlage 2A, Blatt 16 / 26
zur allgemeinen
bauaufsichtlichen Zulassung
Z-36.12-29
vom 29. September 2008

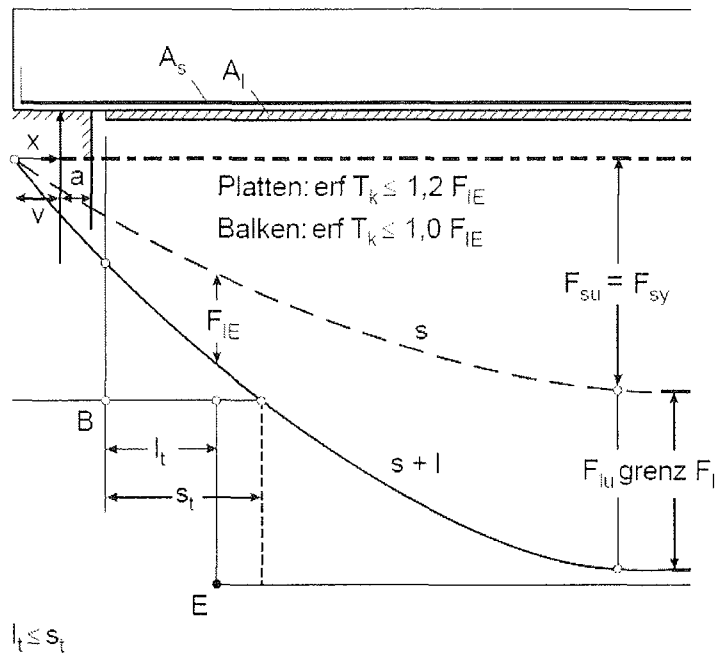


Bild 3: Zugkraftdeckung und Lamellenverankerung an Endauflagern

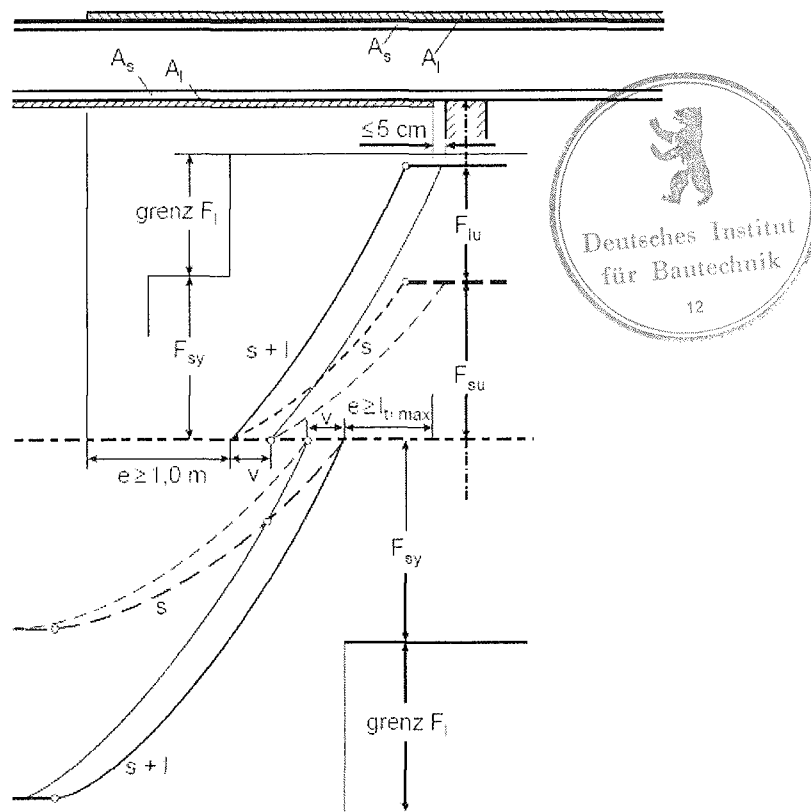


Bild 4: Lamellenverankerung an Innenauflagern

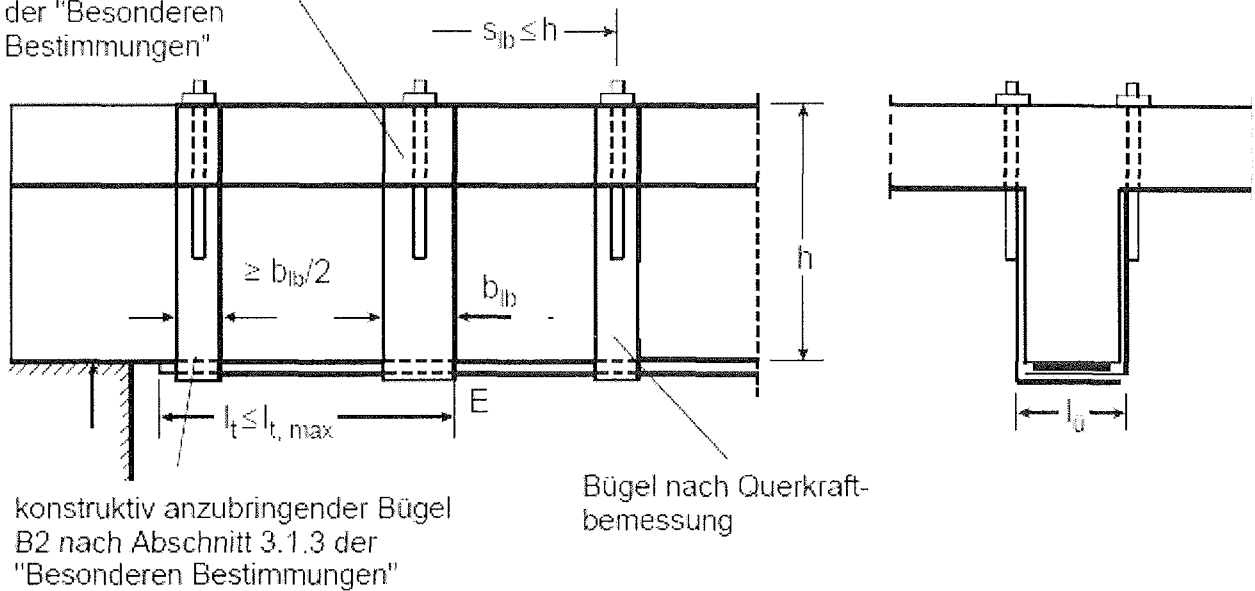


Sika Deutschland GmbH
70439 STUTTGART

Sika CarboDur
Bemessung nach
DIN 1045:1988-07

Anlage 2A, Blatt 17 / 26
zur allgemeinen
bauaufsichtlichen Zulassung
Z-36.12-29
vom 29. September 2008

Bügel B1 nach Abschnitt 3.1.3
der "Besonderen
Bestimmungen"



konstruktiv anzubringender Bügel
B2 nach Abschnitt 3.1.3 der
"Besonderen Bestimmungen"

Bügel nach Querkraft-
bemessung

Bild 5: Verbügelung der Lamellenverankerung (Beispiel für Bügelverankerung in der Druckzone)

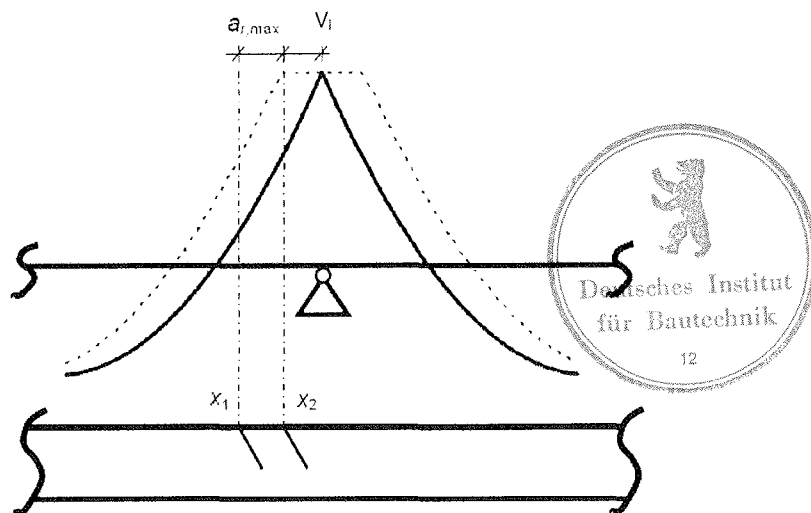


Bild 6: Lage des betrachteten Zwischenrisselements



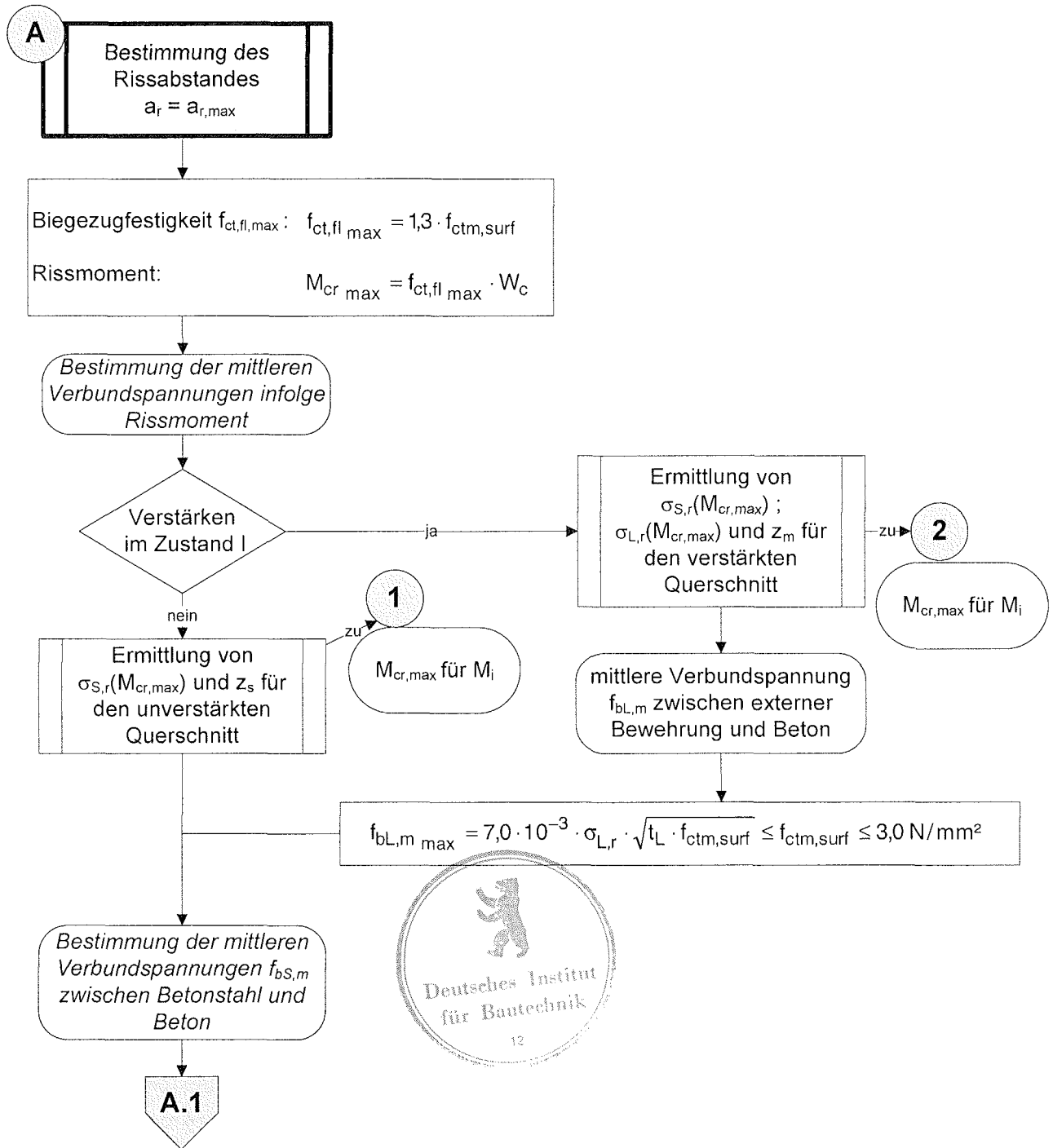
Sika Deutschland GmbH
70439 STUTTGART

Sika CarboDur
Bemessung nach
DIN 1045:1988-07

Anlage 2A, Blatt 18 / 26
zur allgemeinen
bauaufsichtlichen Zulassung
Z-36.12-29
vom 29. September 2008

Flussdiagramme zur Ermittlung des Rissabstandes a_r :

→ **Teilschema A** für den Nachweis nach 2.5 – Querkraftnachweis und –bemessung



Sika Deutschland GmbH
 70439 STUTTGART

Sika CarboDur
 Bemessung nach
DIN 1045:1988-07

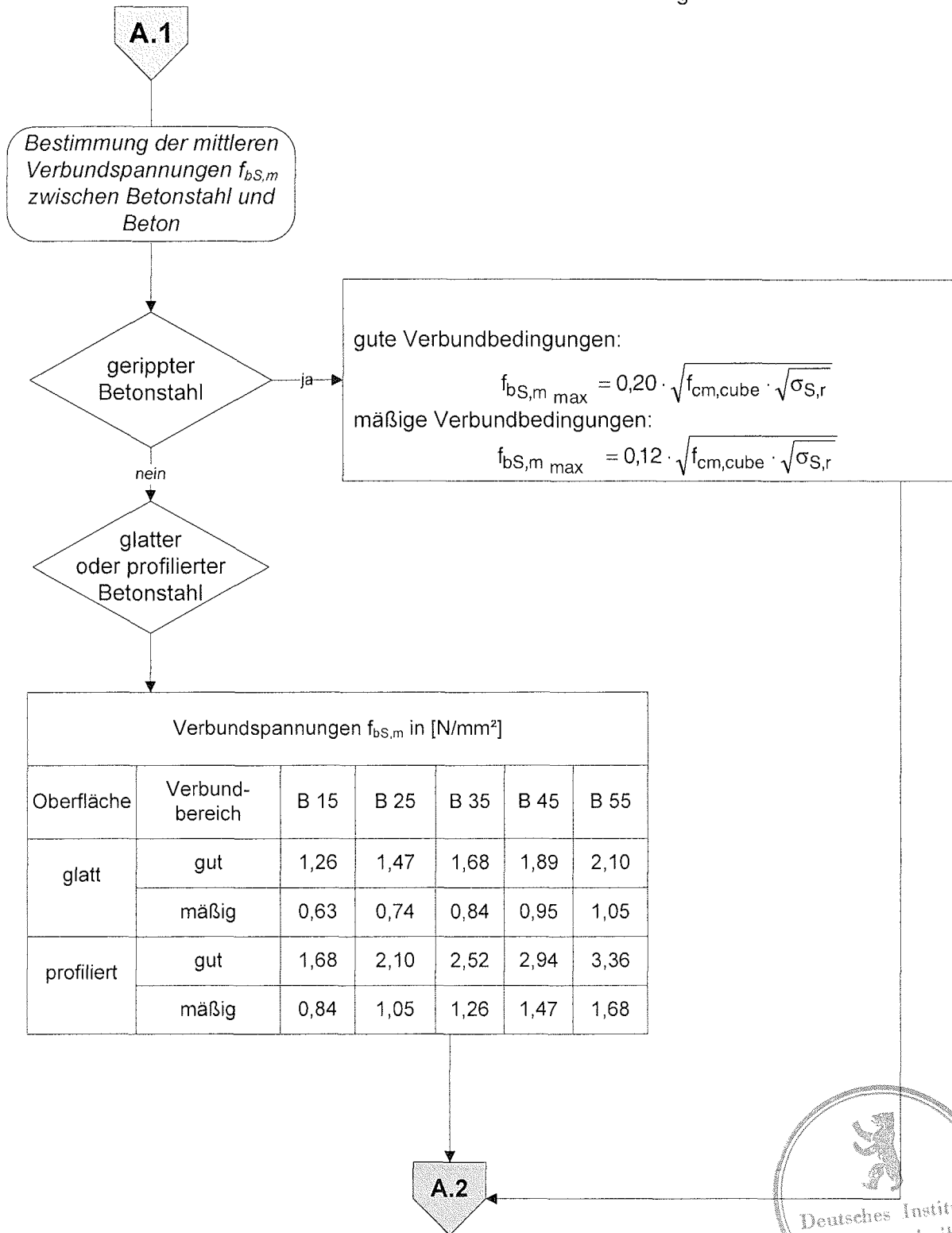
Anlage 2A, Blatt 19 / 26
 zur allgemeinen
 bauaufsichtlichen Zulassung
Z-36.12-29
 vom 29. September 2008

Teilschema A.1

für die Nachweise nach den Abschnitten

2.4.1.1 – Nachweis der Verbundtragfähigkeit über Innenstützen (Bestimmung des Rissbildes) und

2.5 - Querkraftnachweis und -bemessung

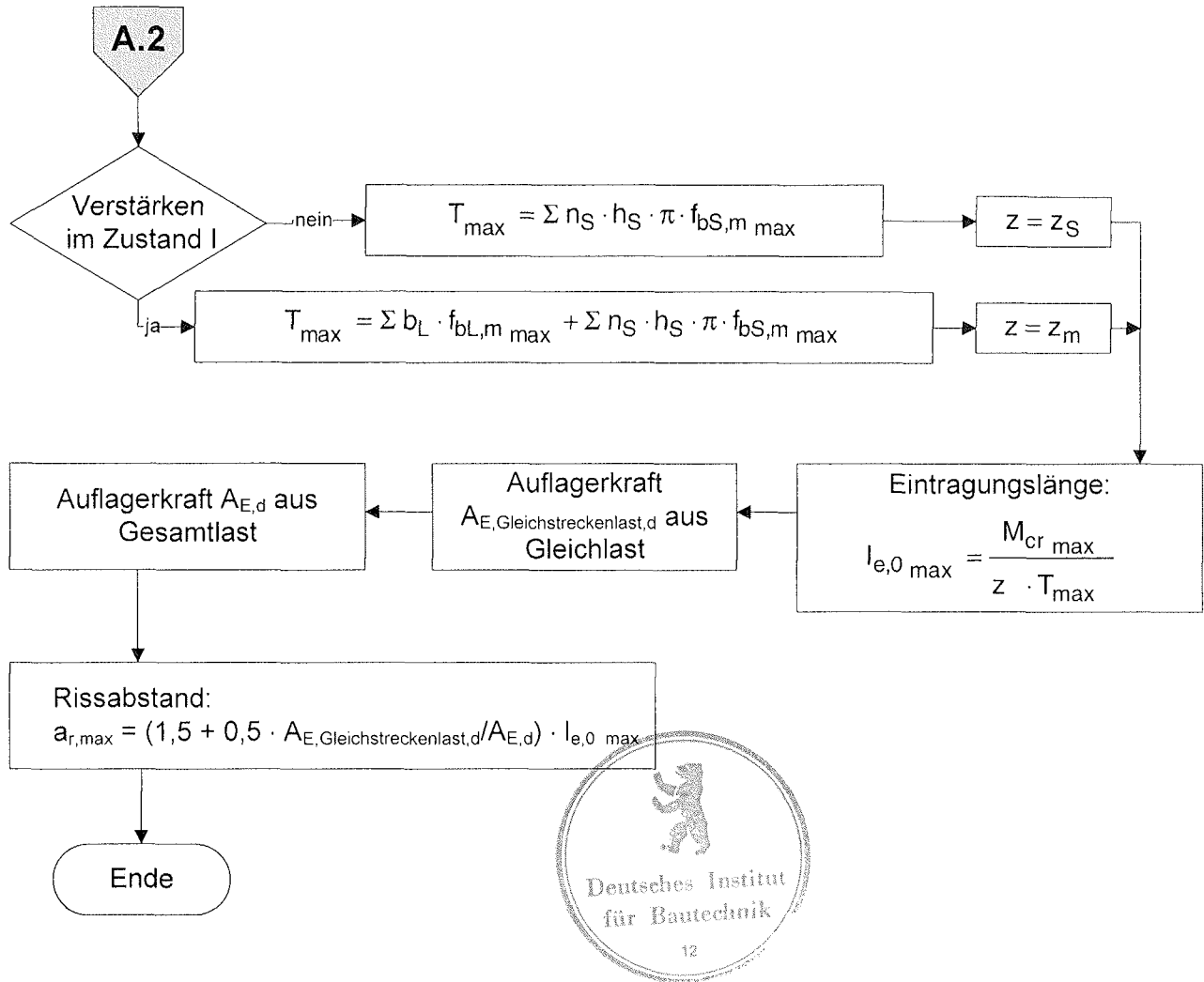


Sika Deutschland GmbH
70439 STUTTGART

Sika CarboDur
Bemessung nach
DIN 1045:1988-07

Anlage 2A, Blatt 20 / 26
zur allgemeinen
bauaufsichtlichen Zulassung
Z-36.12-29
vom 29. September 2008

→ **Teilschema A2** für den Nachweis nach 2.5 - Querkraftnachweis und -bemessung

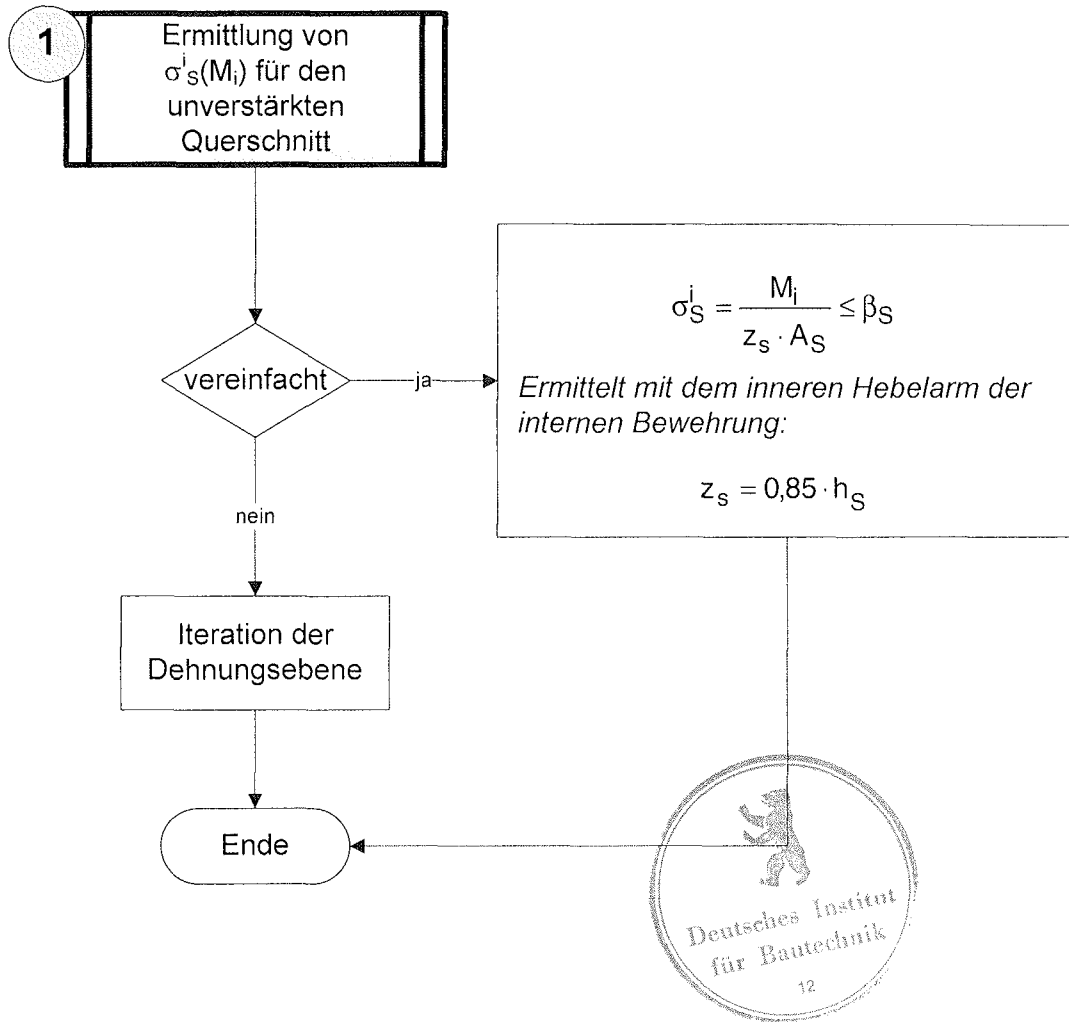


Sika Deutschland GmbH
70439 STUTTGART

Sika CarboDur
Bemessung nach
DIN 1045:1988-07

Anlage 2A, Blatt 21 / 26
zur allgemeinen
bauaufsichtlichen Zulassung
Z-36.12-29
vom 29. September 2008

→ **Teilschema 1** für die Nachweise nach den Abschnitten
 2.4.1.1 – Nachweis der Verbundtragfähigkeit über Innenstützen (Bestimmung des Rissbildes) und
 2.5 - Querkraftnachweis und -bemessung



Sika Deutschland GmbH
 70439 STUTTGART

Sika CarboDur
 Bemessung nach
DIN 1045:1988-07

Anlage 2A, Blatt 22 / 26
 zur allgemeinen
 bauaufsichtlichen Zulassung
Z-36.12-29
 vom 29. September 2008

→ **Teilschema 2** für den Nachweis Abschnitt 2.5 - Querkraftnachweis und -bemessung

2 Ermittlung von $\sigma_s^i(M_i)$ und $\sigma_L^i(M_i)$ für den verstärkten Querschnitt

vereinfacht

ja

$$\sigma_s^i = \frac{M_i}{z_m} \cdot \frac{h_s \cdot E_s}{h_L \cdot E_L \cdot A_L + h_s \cdot E_s \cdot A_s} \leq \beta_s$$

Ermittelt mit dem mittleren inneren Hebelarm von interner und externer Bewehrung:

$$z_m = 0,85 \cdot \frac{h_L \cdot E_L \cdot A_L + h_s \cdot E_s \cdot A_s}{E_L \cdot A_L + E_s \cdot A_s}$$

nein

Iteration der Dehnungsebene

$$\sigma_L^i = \left(\frac{M_i}{z_m} - (A_s \cdot \beta_s) \right) / A_L$$

$\sigma_s^i = \beta_s$

nein

$$\sigma_L^i = \frac{M_i}{z_m} \cdot \frac{h_L \cdot E_L}{h_L \cdot E_L \cdot A_L + h_s \cdot E_s \cdot A_s}$$

Ende

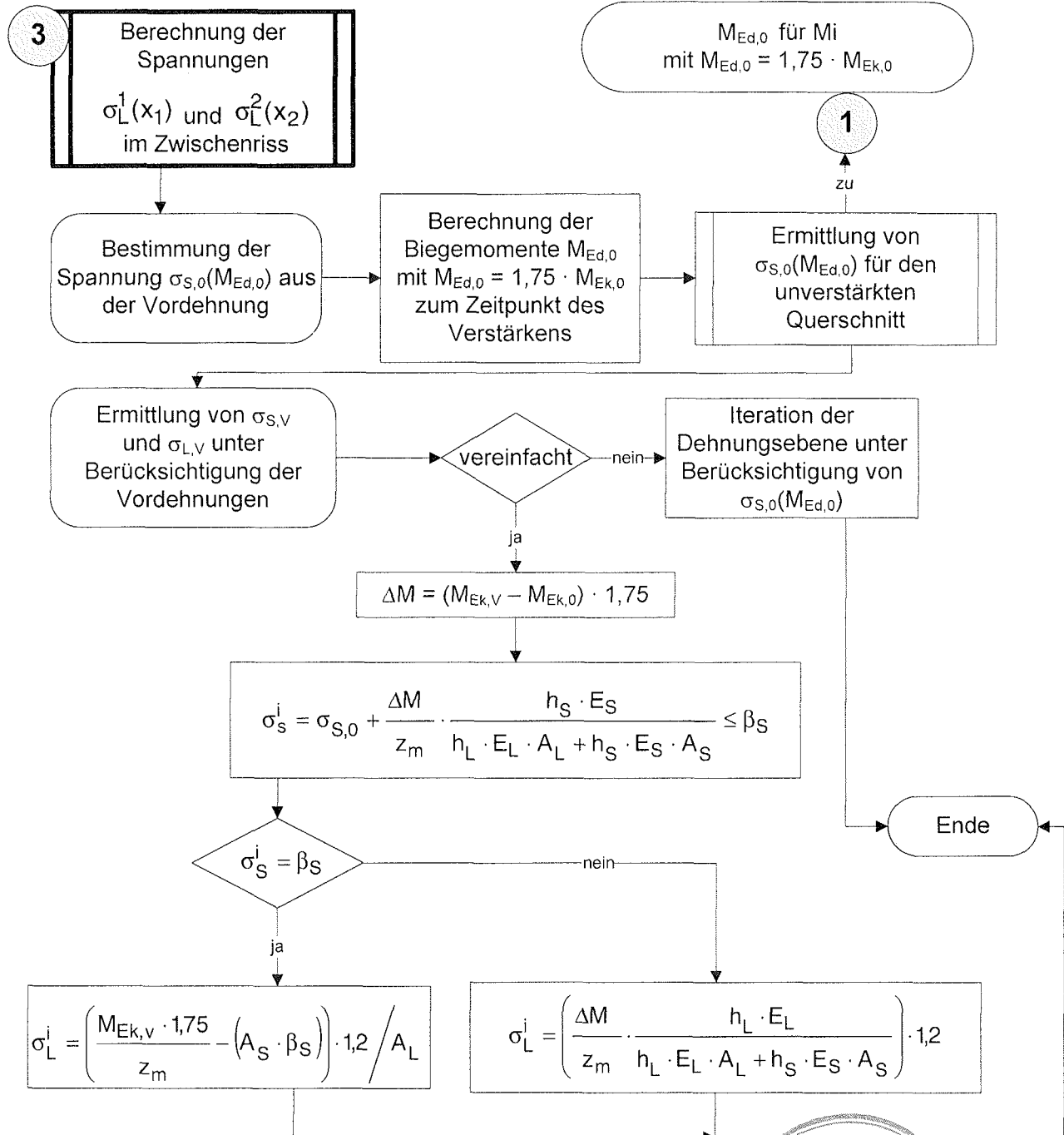


Sika Deutschland GmbH
70439 STUTTGART

Sika CarboDur
Bemessung nach
DIN 1045:1988-07

Anlage 2A, Blatt 23 / 26
zur allgemeinen
bauaufsichtlichen Zulassung
Z-36.12-29
vom 29. September 2008

→ **Teilschema 3** für den Nachweis über Innenstützen nach Abschnitt 2.4.1.2 - (Bestimmung des Verbundwiderstandes)



$M_{Ed,0}$ für M_i
mit $M_{Ed,0} = 1,75 \cdot M_{Ek,0}$

1
zu



Sika Deutschland GmbH
70439 STUTTGART

Sika CarboDur
Bemessung nach
DIN 1045:1988-07

Anlage 2A, Blatt 24 / 26
zur allgemeinen
bauaufsichtlichen Zulassung
Z-36.12-29
vom 29. September 2008

Erläuterungen zu den Flussdiagrammen:

Materialkennwerte

Beton

- $f_{cm,cube}$ - Mittelwert der Würfeldruckfestigkeit des zu verstärkenden Bauwerks nach Abschnitt 4.2 der "Besonderen Bestimmungen"
 $f_{ctm,surf}$ - Mittelwert der Oberflächenzugfestigkeit des zu verstärkenden Bauwerks
 $f_{ct,fl,max}$ - Biegezugfestigkeit (oberer Wert) des zu verstärkenden Bauwerks

Betonstahlbewehrung

- β_s - Streckgrenze des Betonstahls
 E_s - Elastizitätsmodul für Betonstahl
 d_s - Durchmesser der Bewehrungsstäbe der Biegezugbewehrung
 n_s - Anzahl der Bewehrungsstäbe der Biegezugbewehrung

Klebebewehrung

- E_L - Elastizitätsmodul der Klebeverstärkung
 t_L - Dicke der Klebeverstärkung
 b_L - Breite der Klebeverstärkung

Verbundkennwerte

- T_{max} maximaler Zugkraftzuwachs pro Verbundlängereinheit

Geometrische Größen

Querschnittswerte

- z_s - innerer Hebelarm bei Berücksichtigung des Betonstahls
 z_m - mittlerer innerer Hebelarm von Betonstahl und Klebebewehrung
 h_L - statische Nutzhöhe der Klebebewehrung
 h_S - statische Nutzhöhe des Betonstahls
 A_L - Querschnittsfläche der Klebebewehrung
 A_s - Querschnittsfläche des Betonstahls
 W_c - Widerstandsmoment des Betonquerschnitts
 a_l Versatzmaß



Systemkenngrößen

- $A_{E,d}$ - Auflagerkraft aus dem Bemessungswert der Gesamteinwirkungen
 $A_{E,Gleichstreckenlast,d}$ - Auflagerkraft aus dem Bemessungswert der Einwirkungen aus Gleichstreckenlast
 M_i - Moment im betrachteten Schnitt
 $M_{Ed,V}$ - Bemessungswert des einwirkenden Biegemoments im verstärkten Zustand
 $M_{Ek,V}$ - charakteristischer Wert des einwirkenden Biegemoments im verstärkten Zustand
 $M_{Ed,0}$ - Bemessungswert des einwirkenden Biegemoment während des Verstärkens
 $M_{Ek,0}$ - charakteristischer Wert des einwirkenden Biegemoment während des Verstärkens
 M_{Cr} - Rissmoment
 $M_{Cr,max}$ - maximales Rissmoment
 $l_{e,0}$ - Eintragungslänge unter Wirkung des Rissmoments
 $a_{r,max}$ - maximaler Rissabstand



Sika Deutschland GmbH
70439 STUTTGART

Sika CarboDur
Bemessung nach

DIN 1045:1988-07

Anlage 2A, Blatt 25 / 26
zur allgemeinen
bauaufsichtlichen Zulassung
Z-36.12-29

vom 29. September 2008

- $x_{cr,max}$ - Abstand der Stelle, an der bei maximaler Biegezugfestigkeit die Risschnittgröße erreicht wird, zum Momentennullpunkt
- x_{max}^a - maximaler Abstand des äußersten Biegerisses zum Momentennullpunkt
- $x_{max,i}$ - maximaler Abstand der diskreten Risslagen

Beanspruchungen

- $\sigma_{s,r}$ - Betonstahlspannung unter Wirkung des Rissmoments
- $\sigma_{L,r}$ - Lamellenspannung unter Wirkung des Rissmoments
- σ_L^i - Lamellenspannung im Riss i
- σ_s^i - Betonstahlspannung im verstärkten Zustand im Riss
- $f_{bs,m}$ - mittlere Verbundspannung zwischen Betonstahl und Beton
- $f_{bL,m}$ - mittlere Verbundspannung zwischen Klebebewehrung und Beton

1

DIN 1045:1988-07

Beton- und Stahlbeton, Bemessung und Ausführung



Sika Deutschland GmbH
70439 STUTTGART

Sika CarboDur
Bemessung nach
DIN 1045:1988-07

Anlage 2A, Blatt 26 / 26
zur allgemeinen
bauaufsichtlichen Zulassung
Z-36.12-29
vom 29. September 2008